#### GEOMETRISCHE RESONANZEN I

## Geometrische Resonanz und nichtlineare Modenverstärkung

Die Krümmung als physikalischer Träger harmonischer Kopplung zwischen Kreis und Welle

Wissenschaftliche Abhandlung

Klaus H. Dieckmann



September 2025

Zur Verfügung gestellt als wissenschaftliche Arbeit Kontakt: klaus\_dieckmann@yahoo.de

#### Metadaten zur wissenschaftlichen Arbeit

**Titel:** Geometrische Resonanz und nichtlineare Moden-

verstärkung

Untertitel: Die Krümmung als physikalischer Träger

harmonischer Kopplung zwischen Kreis und Welle

**Autor:** Klaus H. Dieckmann

**Kontakt:** klaus\_dieckmann@yahoo.de

**Phone:** 0176 50 333 206

**ORCID:** 0009-0002-6090-3757

**DOI:** 10.5281/zenodo.17198904

**Version:** September 2025 **Lizenz:** CC BY-NC-ND 4.0

Zitatweise: Dieckmann, K.H. (2025). Geometrische Resonanz und

nichtlineare Modenverstärkung

*Hinweis:* Diese Arbeit wurde als eigenständige wissenschaftliche Abhandlung verfasst und nicht im Rahmen eines Promotionsverfahrens erstellt.

#### **Abstract**

Diese Arbeit stellt eine fundamentale geometrische Entdeckung vor: Die lokale Krümmung einer azimutal modulierten Kreiswelle wirkt als *nichtlinearer Modenfilter*, der systematisch die zweite Harmonische verstärkt – selbst dann, wenn ausschließlich die Grundmode angeregt ist. Dieser Effekt, den wir als *geometrische Resonanz* bezeichnen, resultiert aus der intrinsischen Nichtlinearität der Krümmungsabbildung  $\kappa: r(\theta) \mapsto \kappa(\theta)$ .

Analytisch und numerisch wird gezeigt, dass eine hydrodynamische Oberflächenwelle mit Designmode n=8 im Krümmungsspektrum eine dominante Spitze bei n=16 aufweist, während eine intensitätsbasierte Detektion, wie bei elektromagnetischen Wellen, die Grundmode n=8 bewahrt. Damit erhebt sich die Krümmung von einem rein geometrischen Maß zu einem physikalischen Zustandsindikator, der zwischen Wellentypen unterscheidet und verborgene Symmetrien aufdeckt.

Diese Ergebnisse ermöglichen neue Ansätze in der Modenanalyse, Robotik und Entwicklung passiver geometrischer Feldsonden.

## **Inhaltsverzeichnis**

I	Theoretische Grundlagen	1
1	Einleitung	2
2	Krümmung, Schmiegkreis und Referenzgeometrie2.1 Krümmung einer ebenen Kurve2.2 Der Schmiegkreis als lokale Referenz2.3 Referenzgeometrie und Krümmungsdefekt	<b>4</b> 4 5 5
3	Krümmungsdefekt und geometrische Wirkung	6
4	Projektion als Kopplungsmechanismus und geometrische Resonanz 4.1 Von der Kreisbewegung zur Sinusfunktion 4.2 Geometrische Resonanzbedingung 4.3 Verzerrung der Krümmung durch Projektion 4.4 Periodizität, Symmetrie und Stabilität	8 8 9 9
п	Nichtlineare Modenverstärkung	11
5	Nichtlineare Modenverstärkung in modulierten Kreiswellen 5.1 Analytische Herleitung: Die Krümmung als nichtlinearer Operator	<b>12</b>
6	Charakteristische Muster und Vorhersagbarkeit 6.1 Periodizität und Symmetrie	
П	I Anwendungen	17
7	Formanalyse und Mustererkennung 7.0.1 Kreisähnlichkeitsdetektion	

8	Rob	otik uı	nd Pfadplanung	21
		8.0.1	Krümmungsbeschränkte Bewegung und geometrische Re-	
			sonanz	21
		8.0.2	Optimale Bahnen mit minimalem Krümmungsdefekt	22
		8.0.3	Praxisbeispiel: Oszillierende Inspektion entlang einer Wand	23
		8.0.4	Fazit	24
9	Geo	metris	sche Dynamik des Doppelpendels: Universelle Resonanzen	
			ctive Moden	25
	9.1		odik: Von der chaotischen zur fokussierten Analyse	25
	9.2		esultate	26
			Geometrische Ordnung korreliert mit dynamischer Stabi-	
			lität	26
		9.2.2	Identifikation robuster intrinsischer Moden	26
		9.2.3	Entdeckung universeller Resonanzen	27
		9.2.4	Schwebungshypothese als Erklärungsmodell	27
	9.3	Schlus	ssfolgerung	29
10	Win	d als E	Krümmungsmodulator	30
				30
				31
			_	31
	10.1			31
		10.1.1	Wind als Projektionsoperator	32
11	Geo	metris	sche Analyse der Wellenfront-	
		mmun		33
		11.0.1	Berechnung der lokalen Krümmung	33
				34
		11.0.3	Vergleich mit dem empirischen Spektrum	34
		11.0.4	Interpretation	35
12	Nicl	ntlinea	re Krümmungskopplung: Harmonische in Kreiswellensys-	
	tem			37
	12.1	Krüm	mung einer parametrischen Kurve	38
			ndetektion durch Spektralanalyse	38
	12.3	Hydro		38
				39
			nisse und Diskussion	39
	12.6	Schlus	ssfolgerung	40
13	Geo	metris	sche Feldsonden: Die Krümmung als Messinstrument für	
			re Einflüsse	41
	13.1	Passiv	rer Windmesser ohne Elektronik	42
	13.2	Physil	kalisches Prinzip	42

	13.3	Mathematische Grundlage: Krümmung als Messgröße	42
	13.4	Idealfall: Kreisförmige Welle	43
	13.5	Verformte Welle: Krümmungsdefekt	43
		Geometrische Wirkung und Resonanz	
		Technische Umsetzung: Passiver Windmesser	
	13.8	Vorteile und Anwendungen	45
	13.9	Fazit	45
	13.1	Œmpirische Validierung	45
IV	7 <b>A</b>	usblick	47
14	Sch	lussfolgerung	48
V	Ar	nhang	50
A	Pytl	non-Code	51
		Empirisches Spektrum, (Abschn. 11.0.3)	51
	<b>A.2</b>	Nichtlineare Krümmungskopplung in modulierten Kreiswellen,	
		(Abschn. 12.5)	
	A.3	Optimale Pfadplanung, (Abschn. 8.0.3)	66
	A.4	7	
		(Abschn. 9.2.1)	71
	<b>A.</b> 5	Kreiswelle mit Modenverstärkung (Animation),	
		(Abschn. 12)	76
	A.6	Windverformung einer Kreiswelle (Animation),	
		(Abschn. 10)	
	A.7	,, (,, (,, /	82
	A.8	Projektion Kreis: Sinus mit Krümmungsver-	
		gleich (Animation), (Abschn. 4)	
		Doppelpendel (Animation), (Abschn. 9)	
	Lite	ratur	95

# Teil I Theoretische Grundlagen

## **Einleitung**

Die Analyse periodischer Strukturen in der Physik beruht traditionell auf der Zerlegung von Feldern oder Wellen in ihre spektralen Komponenten – sei es durch Fourier-Transformation, Modenzerlegung oder Intensitätsmessung. In allen diesen Ansätzen wird die *Geometrie* der zugrundeliegenden Form jedoch lediglich als Trägermedium behandelt, nicht als eigenständige Informationsquelle. Diese Arbeit stellt diese Perspektive bewusst infrage und zeigt: Die lokale Krümmung einer Kurve ist kein passives geometrisches Attribut, sondern ein aktiver, nichtlinearer Operator, der verborgene harmonische Kopplungen enthüllt.

Der zentrale Ausgangspunkt ist die Beobachtung, dass eine azimutal modulierte Kreiswelle – etwa eine Oberflächenwelle mit 8-facher Symmetrie – im Krümmungsspektrum nicht bei der Anregungsordnung n=8, sondern bei n=16 dominiert. Dieser Effekt lässt sich weder durch lineare Wellentheorie noch durch klassische Spektralanalyse erklären. Er entsteht vielmehr aus der intrinsischen Nichtlinearität der Krümmungsabbildung  $\kappa: r(\theta) \mapsto \kappa(\theta)$ , die quadratische Terme wie  $\sin^2(n\theta)$  erzeugt und so systematisch die zweite Harmonische verstärkt. Wir bezeichnen dieses Phänomen als geometrische Resonanz.

Im Gegensatz dazu bewahren intensitätsbasierte Detektionsverfahren, wie sie etwa in der Optik oder Elektrodynamik üblich sind, die ursprüngliche Modenstruktur. Die Krümmung hingegen fungiert als *nichtlinearer Modenfilter*, der zwischen physikalischen Wellentypen unterscheidet und verborgene Symmetrien sichtbar macht. Damit erhebt sie sich von einem rein beschreibenden Maß zu einem *physikalischen Zustandsindikator*.

Die vorliegende Abhandlung entwickelt dieses Prinzip systematisch: ausgehend von den Grundlagen der Differentialgeometrie (Kapitel 2) über die analytische Herleitung der nichtlinearen Modenverstärkung (Kapitel 5) bis hin zu konkre-

ten Anwendungen in der Formanalyse, Robotik und passiven Sensorik (Kapitel 7). Abschließend wird die universelle Tragweite des Konzepts diskutiert, von chaotischen Pendelsystemen bis hin zu hydrodynamischen Wellen und geometrischen Feldsonden.

Die Arbeit versteht sich somit nicht nur als Beitrag zur geometrischen Analyse, sondern als Plädoyer für eine *formbasierte Physik*, in der die Gestalt selbst zum Messinstrument wird.

# Krümmung, Schmiegkreis und Referenzgeometrie

Die Krümmung einer ebenen Kurve ist das zentrale Maß für ihre lokale Abweichung von einer Geraden. Im Gegensatz zur Steigung, die lediglich die Richtung der Tangente angibt, beschreibt die Krümmung, wie schnell sich diese Richtung entlang der Kurve ändert. In dieser Arbeit nutzen wir die Krümmung nicht als rein geometrische Größe, sondern als *physikalischen Träger harmonischer Kopplung*.

## 2.1 Krümmung einer ebenen Kurve

Für eine reguläre, zweimal stetig differenzierbare Kurve  $\vec{r}(t) = (x(t), y(t))$  ist die Krümmung definiert als

$$\kappa(t) = \frac{|x'(t)y''(t) - y'(t)x''(t)|}{(x'(t)^2 + y'(t)^2)^{3/2}}.$$

Ist die Kurve nach Bogenlänge s parametrisiert ( $\|\vec{r}'(s)\| = 1$ ), vereinfacht sich dies zu

$$\kappa(s) = \|\vec{r}''(s)\|.$$

Im Folgenden bezeichnet  $\kappa(s)$  stets die Krümmung einer nach Bogenlänge s parametrisierten Kurve. Wird ein anderer Parameter verwendet (z. B. der Polarwinkel  $\theta$ ), so kennzeichnen wir dies explizit durch  $\kappa_{\theta}(\theta)$ .

## 2.2 Der Schmiegkreis als lokale Referenz

Der *Schmiegkreis* (osculating circle) an einem Punkt  $\vec{r}(s)$  ist der Kreis, der die Kurve bis zur zweiten Ordnung berührt. Sein Radius  $\rho$  und sein Mittelpunkt  $\vec{m}$  ergeben sich aus der Krümmung  $\kappa(s)$ :

$$\rho(s) = \frac{1}{\kappa(s)}, \qquad \vec{m}(s) = \vec{r}(s) + \rho(s)\,\vec{N}(s), \label{eq:rhoss}$$

wobei  $\vec{N}(s)$  der Hauptnormalenvektor ist. Der Schmiegkreis ist somit die beste lokale kreisförmige Approximation der Kurve und dient in dieser Arbeit als geometrische Referenz für Kreisähnlichkeit.

## 2.3 Referenzgeometrie und Krümmungsdefekt

Um Abweichungen systematisch zu quantifizieren, führen wir eine Referenz-krümmung  $\kappa_0$  ein. Für den Einheitskreis gilt  $\kappa_0=1$ . Der lokale Krümmungsdefekt ist definiert als

$$\delta(s) = \kappa_0 - \kappa(s),$$

und das zugehörige Krümmungsdefekt-Differential lautet

$$d\Delta = (\kappa_0 - \kappa(s)) ds.$$

Dieses Differential ist das zentrale Werkzeug dieser Arbeit: Es misst, wie stark eine Kurve lokal von der idealen Kreisgeometrie abweicht. Wo d $\Delta=0$ , herrscht geometrische Resonanz. Die Kurve verhält sich lokal wie ein Kreis vom Radius 1.

Die Integration über ein Intervall liefert zwei globale Maße:

- Die totale Defekt-Krümmung:  $\Delta = \int (\kappa_0 \kappa(s)) \, \mathrm{d}s$ ,
- Die geometrische Wirkung:  $S = \int (\kappa_0 \kappa(s))^2 ds$ .

Während  $\Delta$  eine orientierte Bilanz liefert, bestraft S jede Abweichung – unabhängig vom Vorzeichen und eignet sich daher als Optimierungsfunktional für glatte, kreisähnliche Formen.

Alle weiteren Kapitel dieser Arbeit bauen auf diesen Definitionen auf. Insbesondere die Analyse modulierter Kreiswellen (Kap. 5) zeigt, dass die nichtlineare Abbildung  $r(\theta) \mapsto \kappa(\theta)$  systematisch gerade Harmonische verstärkt, ein Effekt, der nur durch das hier eingeführte Defektkonzept vollständig erfasst werden kann.

# Krümmungsdefekt und geometrische Wirkung

Die in Kapitel 2 eingeführten Konzepte des Krümmungsdefekts und der geometrischen Wirkung bilden die Grundlage für die quantitative Analyse von Abweichungen gegenüber einer idealen Referenzgeometrie – typischerweise dem Einheitskreis mit  $\kappa_0=1$ .

Während das Krümmungsdefekt-Differential

$$d\Delta = (\kappa_0 - \kappa(s)) ds$$

lokale Abweichungen erfasst, liefert die Integration über eine Kurve zwei globale Maße:

• Die totale Defekt-Krümmung

$$\Delta = \int (\kappa_0 - \kappa(s)) \, ds,$$

eine orientierte Bilanz, die positive und negative Abweichungen gegeneinander aufrechnet.

• Die geometrische Wirkung

$$S = \int (\kappa_0 - \kappa(s))^2 ds,$$

ein strikt nicht-negatives Maß, das jede Abweichung, unabhängig vom Vorzeichen, bestraft und sich daher als Optimierungsfunktional für glatte, kreisähnliche Formen eignet.

Im Gegensatz zur totalen Defekt-Krümmung, die für periodische Funktionen wie den Sinus oft positiv ist (da flache Bereiche dominieren), ist die Wirkung S besonders sensitiv gegenüber lokalen Spitzen in der Krümmung. Dies macht sie zum idealen Werkzeug zur Quantifizierung der nichtlinearen Modenverstärkung, wie sie in Kapitel S analysiert wird.

In den folgenden Anwendungen (Kapitel 7) wird S zudem als Kostenfunktion in der Pfadplanung, als Ordnungsmaß im Doppelpendel und als Messgröße in geometrischen Feldsonden eingesetzt.

# Projektion als Kopplungsmechanismus und geometrische Resonanz

Die Sinusfunktion entsteht nicht zufällig aus dem Einheitskreis. Sie ist das Ergebnis einer strukturierten geometrischen Transformation: der *orthogonalen Projektion* einer gleichförmigen Kreisbewegung auf eine Koordinatenachse. In dieser Arbeit wird gezeigt, dass diese Projektion kein passiver Abbildungsprozess ist, sondern ein aktiver *Kopplungsmechanismus*, der Winkel, Radius und Zeit miteinander verknüpft und dabei ein charakteristisches Muster erzeugt: die *geometrische Resonanz*.

## 4.1 Von der Kreisbewegung zur Sinusfunktion

Ein Punkt, der sich gleichförmig auf dem Einheitskreis bewegt, folgt der Parametrisierung

$$\vec{r}(t) = (\cos t, \sin t).$$

Die Projektion auf die y-Achse liefert die Funktion

$$f(x) = \sin x$$

wobei wir die Zeit t als unabhängige Variable x interpretieren. Diese Identifikation ist der zentrale Brückenschlag: Was im Kreis eine dynamische Größe ist, wird im Sinus eine geometrische Achse.

Die Kopplung erfolgt über drei gemeinsame Parameter:

• Der Winkel  $\theta = t$  verbindet Phase, Position und Zeit.

- Der Radius r=1 bestimmt sowohl die Amplitude als auch die Referenz-krümmung  $\kappa_0=1$ .
- Die Winkelgeschwindigkeit  $\omega=1$  steuert die Frequenz und die Krümmungsverstärkung. Nur unter dieser spezifischen Wahl gilt:  $\kappa_{\max}(f)=r\omega^2=1=\kappa_0$ .

## 4.2 Geometrische Resonanzbedingung

Für eine allgemeine harmonische Funktion  $f(x) = r \sin(\omega x)$  lautet die maximale Krümmung (vgl. Anhang)

$$\kappa_{\text{max}} = r\omega^2$$
.

Geometrische Resonanz mit dem Einheitskreis tritt genau dann ein, wenn

$$\kappa_{\text{max}} = \kappa_0 = 1 \quad \Longleftrightarrow \quad r\omega^2 = 1.$$

Die Standardform  $f(x)=\sin x$  ist somit der kanonische Vertreter einer ganzen Äquivalenzklasse resonanter Projektionen, nicht per Zufall, sondern als einfachste Realisierung einer geometrisch optimalen Kopplung.

## 4.3 Verzerrung der Krümmung durch Projektion

Obwohl die Projektion die Funktionswerte korrekt überträgt, verändert sie die geometrische Struktur fundamental:

- Im 2D-Kreis: konstante Geschwindigkeit, konstante Krümmung  $\kappa = 1$ .
- Im 1D-Graph: die unabhängige Variable x ist nicht die Bogenlänge der Bewegung. Diese Dimensionsreduktion führt zu einer systematischen Verzerrung der Krümmung:
- An den Extrema ( $x = \pi/2 + n\pi$ ): horizontale Tangente,  $\kappa = 1 \to Resonanz$ .
- An den Nullstellen ( $x=n\pi$ ): Wendepunkte,  $\kappa=0\to$  maximale Abweichung. Die Abweichung wird quantifiziert durch das Krümmungsdefekt-Differential

$$d\Delta = (\kappa_0 - \kappa(x)) \, ds,$$

das die "geometrische Reibung" der Projektion misst.

## 4.4 Periodizität, Symmetrie und Stabilität

Die Kopplung erzeugt ein vorhersagbares Muster:

- *Periodizität*: Resonanzpunkte treten periodisch mit Abstand  $\pi/\omega$  auf.
- *Symmetrie*: Lokale Achsensymmetrie an den Extrema spiegelt die Kreisgeometrie wider.
- Stabilität: Die Position der Resonanzpunkte ist robust gegenüber kleinen Störungen; nur die Stärke der Resonanz hängt sensitiv von  $r\omega^2$  ab.

Zusammenfassend ist die Projektion ein aktiver Operator, der zwei Systeme, Kreis und Welle, durch gemeinsame Größen und eine Resonanzbedingung koppelt. Die beobachteten Muster sind keine Zufälle, sondern die vorhersagbaren Wirkungen einer strukturierten geometrischen Transformation. Diese Sichtweise bildet die Grundlage für die Analyse nichtlinearer Modenverstärkung in Kapitel 5.

Animation, siehe Anhang A.8

## Teil II

## Nichtlineare Modenverstärkung

## Nichtlineare Modenverstärkung in modulierten Kreiswellen

Die zentrale Entdeckung dieser Arbeit ist die systematische Verstärkung gerader Harmonischer durch die geometrische Krümmung. Wenn eine Kreiswelle mit einer azimutalen Modulation der Ordnung n versehen wird, erzeugt die nichtlineare Abbildung  $r(\theta)\mapsto\kappa(\theta)$  dominante Spektralkomponenten bei 2n. Dieser Effekt, den wir als nichtlineare Modenverstärkung bezeichnen, ist universell und unabhängig vom physikalischen Trägermedium. Er tritt jedoch nur dann in Erscheinung, wenn die Welle über ihre geometrische Form detektiert wird – im Gegensatz zu einer intensitätsbasierten Messung.

## 5.1 Analytische Herleitung: Die Krümmung als nichtlinearer Operator

Betrachte eine in der Ebene parametrisierte Kurve in Polarkoordinaten:

$$r(\theta) = r_0 + \varepsilon \sin(n\theta), \quad \varepsilon \ll r_0.$$

Die zugehörige kartesische Darstellung ist

$$\vec{r}(\theta) = (r(\theta)\cos\theta, \ r(\theta)\sin\theta).$$

Die Krümmung einer solchen Kurve lautet (vgl. do Carmo [?]):

$$\kappa_{\theta}(\theta) = \frac{\left| r(\theta)^2 + 2(r'(\theta))^2 - r(\theta)r''(\theta) \right|}{\left( r(\theta)^2 + (r'(\theta))^2 \right)^{3/2}},$$

Hier ist  $r'(\theta) := \frac{dr}{d\theta}$ , und  $\kappa_{\theta}(\theta)$  bezeichnet die Krümmung der Kurve, parametrisiert durch den Polarwinkel  $\theta$  – nicht durch die Bogenlänge.

Einsetzen von  $r(\theta)=r_0+\varepsilon\sin(n\theta)$  und Entwicklung bis zur zweiten Ordnung in  $\varepsilon$  liefert nach trigonometrischer Vereinfachung:

$$\kappa(\theta) \approx \frac{1}{r_0} + \underbrace{\frac{\varepsilon(n^2-1)}{r_0^2}\sin(n\theta)}_{\text{Grundmode }n} + \underbrace{\frac{\varepsilon^2(n^2-1)}{2r_0^2}\cos(2n\theta)}_{\text{Zweite Harmonische }2n} + \mathcal{O}(\varepsilon^3).$$

Der entscheidende Befund ist der quadratische Term  $\propto \varepsilon^2 \cos(2n\theta)$ . Er entsteht aus dem nichtlinearen Zusammenwirken der ersten Ableitung  $r' \propto \cos(n\theta)$  mit sich selbst (z. B.  $(r')^2 \propto \cos^2(n\theta) = \frac{1}{2}(1+\cos(2n\theta))$ ). Die Krümmung wirkt somit als *intrinsischer nichtlinearer Filter*, der systematisch die zweite Harmonische erzeugt – selbst wenn die Anregung rein monochromatisch bei n erfolgt.

## Charakteristische Muster und Vorhersagbarkeit

Die Kopplung zwischen Kreis und Sinus über die Projektion erzeugt keine zufällige oder willkürliche Funktion, sondern eine mit tiefen, *charakteristischen Mustern* – Periodizität, Symmetrie, Resonanz. Diese Muster sind nicht nur ästhetisch, sondern Ausdruck einer *strukturellen Vorhersagbarkeit*, die aus der gemeinsamen Geometrie und Dynamik beider Systeme folgt. In diesem Abschnitt wird gezeigt, wie die Parameter der Projektion – Radius, Winkelgeschwindigkeit, Zeit – nicht nur die Form bestimmen, sondern auch eine stabile, wiederkehrende Struktur erzeugen, deren Eigenschaften exakt vorhergesagt werden können. Insbesondere die *Resonanzpunkte*, an denen die Krümmung mit der des Einheitskreises übereinstimmt, sind keine Zufallserscheinungen, sondern feste, stabile Elemente dieses Musters.

#### 6.1 Periodizität und Symmetrie

Die Funktion  $f(x) = r \sin(\omega x)$  erbt ihre Periodizität direkt von der Kreisbewegung. Da der Winkel  $\theta = \omega x$  periodisch mit Periode  $2\pi$  ist, gilt:

$$f(x+T)=f(x), \quad \operatorname{mit} T=rac{2\pi}{\omega}.$$

Die Projektion überträgt also die *zyklische Natur der Rotation* auf die *x*-Achse – die Periodizität ist eine direkte Konsequenz der geschlossenen Geometrie des Kreises.

**Symmetrie:** Die Sinusfunktion weist zwei fundamentale Symmetrien auf, die ebenfalls aus der Kreisgeometrie stammen:

- **Punktsymmetrie zum Ursprung:**  $\sin(-x) = -\sin x$ . Dies entspricht der *Rotationsinvarianz* des Kreises um  $180^{\circ}$ :  $\vec{r}(t+\pi) = -\vec{r}(t)$ .
- Verschobene Achsensymmetrie an den Extrema:  $f\left(\frac{\pi}{2\omega}+u\right)=f\left(\frac{\pi}{2\omega}-u\right)$  für  $f(x)=r\sin(\omega x)$ .

An den Maxima und Minima ist die Funktion lokal achsensymmetrisch – ein Merkmal, das eng mit der *geometrischen Resonanz* verbunden ist.

Geometrische Interpretation der Symmetrie: Am Maximum bei  $x_0 = \pi/(2\omega)$  ist die Tangente horizontal ( $f'(x_0) = 0$ ), und die Krümmung ist maximal. Die lokale Achsensymmetrie um  $x_0$  bedeutet, dass die Kurve in der Nähe dieses Punktes wie ein Parabelast verläuft – und genau dort dem Schmiegkreis (Radius  $1/\kappa_{\rm max}$ ) am nächsten kommt.

**Muster der Resonanzpunkte:** Die Punkte maximaler Krümmung – also die Resonanzpunkte – treten bei:

$$x_n = \frac{\pi}{2\omega} + n\frac{\pi}{\omega}, \quad n \in \mathbb{Z}$$

auf. Sie sind also *periodisch angeordnet* mit Abstand  $\pi/\omega$  – halbe Periode. Diese regelmäßige Struktur ist nicht zufällig: Sie spiegelt die *halbe Rotation* des Punktes auf dem Kreis wider – von "oben" zu "unten" und zurück.

**Zusammenfassung:** Periodizität und Symmetrie sind keine unabhängigen Eigenschaften – sie sind *geometrisch kodiert* in der Kreisbewegung und werden durch die Projektion erhalten. Die Muster sind *vorhersagbar*, weil sie aus einer deterministischen, geschlossenen Dynamik hervorgehen.

## 6.2 Stabilität der Resonanzpunkte

Ein zentrales Merkmal des gekoppelten Systems ist die *Stabilität der Resonanz-punkte* – jener Stellen, an denen  $\kappa(x)=\kappa_0=1$  (bei  $r\omega^2=1$ ). Diese Punkte sind nicht nur vorhanden, sondern *robust* gegenüber kleinen Störungen der Parameter.

Stabilität unter kleinen Störungen: Sei  $f(x) = r \sin(\omega x)$  mit  $r\omega^2 = 1 + \varepsilon$ ,  $\varepsilon \ll 1$ . Dann gilt:

$$\kappa_{\text{max}} = 1 + \varepsilon$$
.

Die Resonanz ist leicht gebrochen – aber die *Position* der Maxima bleibt unverändert:

$$x_n = \frac{\pi}{2\omega} + n\frac{\pi}{\omega}.$$

Die Störung wirkt auf die *Stärke* der Krümmung, nicht auf ihre *Lokalisierung*. Die Musterstruktur bleibt erhalten.

Sensitivität gegenüber der Resonanzbedingung: Obwohl die Position stabil ist, ist die *Qualität der Resonanz* sensitiv gegenüber  $r\omega^2$ . Nur wenn  $r\omega^2=1$ , ist d $\Delta=0$  an den Extrema. Abweichungen führen zu d $\Delta\neq0$  – die geometrische Übereinstimmung geht verloren.

**Dynamische Stabilität:** In physikalischen Systemen (z. B. harmonischer Oszillator) ist die Frequenz  $\omega$  oft durch die Systemparameter (Masse, Federkonstante) festgelegt. Wenn diese so abgestimmt sind, dass  $r\omega^2=1$  (in geeigneten Einheiten), dann tritt geometrische Resonanz auf – die Schwingung verhält sich lokal wie ein Kreis. Dies kann als  $geometrischer\ Anpassungszustand\$ interpretiert werden, analog zur Resonanz in der Akustik oder Elektrodynamik.

**Vergleich mit nicht-resonanten Funktionen:** Für Funktionen, die nicht aus einer Kreisprojektion stammen – z. B.  $f(x) = x - \lfloor x \rfloor$  (Sägezahn), oder  $f(x) = e^{-x^2} \sin x$  – gibt es keine regelmäßigen, stabilen Resonanzpunkte. Die Krümmung variiert chaotisch oder aperiodisch – kein Muster, keine Vorhersagbarkeit.

Fazit: Die Resonanzpunkte sind strukturell stabil und geometrisch bedingt. Ihre Existenz, Periodizität und Symmetrie sind direkte Folgen der Kopplung durch Projektion. Die Tatsache, dass sie nur unter der Bedingung  $r\omega^2=1$  vollständig resonant sind, zeigt: Die Sinusfunktion  $y=\sin x$  ist nicht nur eine Funktion – sie ist der stabilen stabi

Diese Muster sind nicht bloß mathematisch interessant – sie sind die *geometrischen Signaturen einer tiefen Kopplung*, die es erlaubt, aus der Struktur einer Funktion auf ihre Herkunft zu schließen.

# Teil III Anwendungen

## Formanalyse und Mustererkennung

Die in dieser Arbeit entwickelten Konzepte – insbesondere die  $geometrische\ Resonanz$ , der Krümmungsdefekt und die  $Wirkung\ S=\int (\kappa_0-\kappa)^2 {\rm d} s$  – sind nicht nur von theoretischem Interesse, sondern lassen sich direkt in praktischen Anwendungen der Formanalyse und Mustererkennung nutzen. In diesem Abschnitt wird gezeigt, wie die Abweichung einer Kurve von idealer Kreisform als messbare Größe verwendet werden kann, um charakteristische Strukturen zu detektieren und Kurven gezielt zu glätten. Die Sinusfunktion dient dabei als Modellfall für eine  $geometrisch\ strukturierte\ Welle$ , deren Resonanzpunkte als Ankerpunkte für die Analyse dienen.

#### 7.0.1 Kreisähnlichkeitsdetektion

Ein zentrales Problem in der Bildverarbeitung, Robotik und Biometrie ist die Erkennung von kreisförmigen Strukturen in kontinuierlichen oder diskreten Kurven. Traditionelle Methoden wie die Hough-Transformation arbeiten im Parameterraum. Mit dem hier entwickelten Krümmungsdefekt-Differential  $d\Delta = (\kappa_0 - \kappa) ds$  lässt sich eine alternative, lokal arbeitende Methode definieren: die Kreisähnlichkeitsdetektion durch Resonanzsuche.

#### Algorithmus: Kreisähnlichkeitsdetektion

- 1. Wähle eine Referenzkrümmung  $\kappa_0 > 0$  (z. B.  $\kappa_0 = 1$  für Einheitskreis).
- 2. Berechne die lokale Krümmung  $\kappa(s)$  entlang der Kurve.
- 3. Bestimme die Kreisähnlichkeitsfunktion:

$$C(s) = rac{\min(\kappa(s), \kappa_0)}{\max(\kappa(s), \kappa_0)}$$
 (relativer Übereinstimmungsgrad)

Alternativ: 
$$C(s) = 1 - \frac{|\kappa(s) - \kappa_0|}{\kappa_0 + \kappa(s)}$$
 (symmetrisch).

4. Markiere Punkte mit  $C(s) > C_{\text{thresh}}$  als resonante Segmente.

Anwendung: Sinusförmige Signale Für  $f(x) = \sin x$  und  $\kappa_0 = 1$  gilt  $C(x) = \kappa_{\sin}(x)$  an den Maxima. Dort ist  $C = 1 \to \text{vollständige Kreisähnlichkeit.}$  In den flachen Bereichen fällt C(x) ab.

Durch Schwellwertbildung kann man die Umgebung der Resonanzpunkte identifizieren – also jene Segmente, die lokal wie ein Kreis vom Radius 1 aussehen.

**Erweiterung: Skaleninvariante Detektion** Um auch skalierte Sinusfunktionen zu erkennen, kann  $\kappa_0$  adaptiv gewählt werden:

$$\kappa_0(x) = r\omega^2$$
 für lokale Schätzung von  $r, \omega$ .

Dann wird die Detektion unabhängig von Amplitude und Frequenz – nur die geometrische Resonanzbedingung  $r\omega^2=\kappa_0$  muss erfüllt sein.

#### Beispielanwendungen:

- **Biologie:** Erkennung von zyklischen Zellmembran-Oszillationen mit kreisförmigen Peaks.
- **Ingenieurwesen:** Detektion von harmonischen Fehlern in Rundlaufformen (z. B. bei Lagern).
- Robotik: Identifikation von periodischen Bewegungsmustern in Trajektorien.

**Vorteil gegenüber Fourier-Analyse:** Während Fourier-Methoden globale Frequenzinformation liefern, ermöglicht die Krümmungsanalyse *lokale geometrische Klassifikation* – z. B. Unterscheidung zwischen Sinus, Sägezahn und Rechteck anhand der Resonanzstruktur.

#### 7.0.2 Glättung durch Defektminimierung

In vielen Anwendungen – z.B. bei Rauschen in Messdaten oder bei numerischen Artefakten – ist es wünschenswert, eine Kurve zu glätten, ohne ihre charakteristischen Merkmale zu zerstören. Klassische Glättungsverfahren (z.B. gleitender Durchschnitt) zerstören oft Spitzen oder verändern die Krümmung unkontrolliert. Mit dem Konzept der *Defektminimierung* lässt sich eine geometrisch informierte Glättung definieren, die die Nähe zur idealen Geometrie erhält.

Glättungsprinzip: Minimiere die Wirkung:

$$S[\gamma] = \int_{\gamma} (\kappa_0 - \kappa(s))^2 \, \mathrm{d}s$$

unter der Nebenbedingung, dass die geglättete Kurve nahe bei den Originaldaten bleibt.

Dies führt auf ein Variationsproblem mit Strafterm:

$$\min_{\gamma} \left( \int \left( \kappa_0 - \kappa \right)^2 \mathrm{d}s + \lambda \int \| \gamma(s) - \gamma_{\mathrm{orig}}(s) \|^2 \mathrm{d}s \right),$$

wobei  $\lambda > 0$  die Stärke der Datenbindung steuert.

#### Lösungseigenschaften:

- Die minimierende Kurve enthält Segmente mit  $\kappa \approx \kappa_0$  also annähernd kreisförmige Bögen.
- An Übergängen entstehen glatte, oft clothoidenartige Verbindungen.
- Die Resonanzpunkte der ursprünglichen Funktion (z. B. Maxima des Sinus) bleiben als geometrische Anker erhalten, falls sie nahe bei  $\kappa=\kappa_0$  liegen.

Anwendung: Glättung eines verrauschten Sinus Gegeben sei ein Signal  $y_i = \sin x_i + \varepsilon_i$  mit Rauschen  $\varepsilon_i$ . Die Defektminimierung mit  $\kappa_0 = 1$  liefert eine Kurve, die:

- die Periodizität erhält,
- die Maxima bei  $\kappa \approx 1$  lokalisiert.
- die flachen Bereiche sanft krümmt, statt sie linear zu machen.

Im Gegensatz zur Fourier-Glättung bleibt die *geometrische Integrität* der Resonanzpunkte erhalten.

**Numerische Umsetzung:** Das Problem kann mit Splines oder diskreten Krümmungsapproximationen gelöst werden. Z.B. für Polygonzüge: Approximiere  $\kappa(s)$  durch den Krümmungsradius an jedem Eckpunkt, und minimiere S iterativ.

**Fazit:** Die Minimierung des Krümmungsdefekts ist kein bloßes Glättungsverfahren – sie ist eine *geometrische Rekonstruktion*, die auf der Annahme basiert, dass die zugrundeliegende Form *lokal kreisähnlich* ist. Die Sinusfunktion – als prototypische resonante Projektion – dient als ideales Testobjekt und zeigt, wie *geometrische Vorhersagbarkeit* in praktische Algorithmen umgesetzt werden kann.

## Robotik und Pfadplanung

Die in dieser Arbeit entwickelte Theorie der geometrischen Resonanz und des Krümmungsdefekts hat direkte Anwendungen in der Robotik, insbesondere bei der Pfadplanung für fahrbare oder fliegende Systeme mit beschränkter Manövrierfähigkeit.

Viele Roboter, wie Ackermann-Fahrzeuge, Differentialantriebe oder Drohnen, können aufgrund mechanischer oder dynamischer Constraints nicht beliebig scharf kurven. Ihre Bewegung ist durch einen minimalen Wendekreis  $R_{\min}$  begrenzt, was einer maximalen Krümmung  $\kappa_{\max}=1/R_{\min}\,m^{-1}$ entspricht. Jede Trajektorie  $\gamma(s)$  muss daher die Bedingung

$$\kappa(s) \le \kappa_{\text{max}} \quad \forall s$$
(8.1)

erfüllen. Verletzt eine geplante Bahn diese Ungleichung, ist sie nicht befahrbar.

## 8.0.1 Krümmungsbeschränkte Bewegung und geometrische Resonanz

Geometrisch bedeutet diese Bedingung, dass an jedem Punkt der Bahn der Schmiegkreis einen Radius  $\rho(s)=1/\kappa(s)\geq R_{\min}$  besitzt. Die Trajektorie muss lokal durch einen Kreis vom Radius  $R_{\min}$  "eingeschachtelt" werden können.

Ein zentrales Beispiel ist die oszillierende Referenzbahn  $y(x)=A\sin(\omega x)$ . Die Krümmung dieser Funktion erreicht ein Maximum von

$$\kappa_{\rm path}^{\rm max} = A\omega^2$$
.

Die Bahn ist genau dann befahrbar, wenn

$$\kappa_{\text{path}}^{\text{max}} \le \kappa_{\text{max}},$$

wobei  $\kappa_{\rm max}=1/R_{\rm min}$  die maximale zulässige Krümmung des Fahrzeugs bezeichnet. Dies definiert eine obere Schranke für die Frequenz:

$$\omega \leq \sqrt{\frac{\kappa_{\max}}{A}}.$$

**Geometrische Resonanzbedingung**: Im normierten Fall  $\kappa_{\max} = 1\,m^{-1}$  (d. h. minimale Wendekrümmung des Fahrzeugs ist 1) erreicht die Funktion  $y = \sin x$  an ihren Maxima genau  $\kappa_{\mathrm{path}}^{\mathrm{max}} = 1\,m^{-1}$ . Sie nutzt die Manövrierfähigkeit optimal aus: weder werden Krümmungsreserven verschwendet, noch wird die zulässige Grenze überschritten.

Damit ist  $y = \sin x$  der *kanonische Grenzfall* einer befahrbaren harmonischen Welle – eine direkte Folge der geometrischen Resonanz zwischen Kreis und Sinus.

Tabelle 8.1: Vergleich harmonischer Referenzbahnen unter Krümmungsbeschränkung ( $\kappa_{\text{max}} = 1 \, m^{-1}$ )

Funktion	Max. Krümmung $\mathrm{m}^{-1}\kappa_\mathrm{path}^\mathrm{max}$	Befahrbarkeit
$y = \sin x$ $y = \frac{1}{2} \sin x$ $y = \sin(2x)$	1 0.5 4	Optimal (Resonanzfall) Unterauslastet, ineffizient Nicht befahrbar

#### 8.0.2 Optimale Bahnen mit minimalem Krümmungsdefekt

In der Pfadplanung geht es nicht nur um Befahrbarkeit, sondern auch um *Optimalität*: Glattheit, Energieeffizienz und geometrische Vorhersagbarkeit.

Traditionelle Ansätze minimieren die Bogenlänge oder die Biegeenergie  $\int \kappa^2 ds$ .

Mit dem hier eingeführten Konzept des Krümmungsdefekts lässt sich eine neue Klasse optimaler Trajektorien definieren: solche, die die Abweichung von einer vorgegebenen Sollkrümmung  $\kappa_0$  minimieren. Das Optimierungsproblem lautet:

#### Beispiel 8.0.0: Defektminimale Trajektorie

Gegeben Start- und Endposition mit Tangentenrichtung, finde die Trajektorie  $\gamma$ , die die geometrische Wirkung

$$S[\gamma] = \int_{\gamma} (\kappa_0 - \kappa(s))^2 ds$$

minimiert, unter den Nebenbedingungen:

- $\kappa(s) \leq \kappa_{\text{max}}$  (Befahrbarkeit),
- $\gamma$  erfüllt die Randbedingungen.

Die Wahl von  $\kappa_0$  bestimmt die Charakteristik der optimalen Bahn:

Tabelle 8.2: Charakteristik optimaler Trajektorien in Abhängigkeit von  $\kappa_0$ 

$\kappa_0$	Trajektoriencharak- teristik	Anwendung
0	Geraden-dominiert	Kürzeste Verbindung
$\kappa_{ ext{max}}$	Kreisbogen- dominiert	Enge, gleichmäßige Kurven
1	Harmonische Muster	Zyklische oder oszillierende Aufgaben

Die Lösung ergibt sich aus der Euler-Lagrange-Gleichung und besteht typischerweise aus drei Segmenttypen:

- 1. **Kreisbögen** mit  $\kappa = \kappa_0$  (wo möglich),
- 2. Übergangskurven (z. B. Clothoiden) für  $\mathbb{C}^2$ -stetige Verbindungen,
- 3. **Geraden** im Fall  $\kappa_0 = 0$ .

Diese Struktur minimiert die geometrische Dissonanz und führt zu stabilen, vorhersagbaren und effizienten Bewegungsmustern.

Animation. siehe Anhang A.7

## 8.0.3 Praxisbeispiel: Oszillierende Inspektion entlang einer Wand

Ein Roboter soll entlang einer Wand oszillieren, z. B. zur Inspektion oder Überwachung. Eine reine Sinusfunktion  $y = A\sin(\omega x)$  ist suboptimal: an den Null-

stellen ist die Krümmung zu gering ( $\kappa \approx 0$ ), was zu einer Unterauslastung der Manövrierfähigkeit führt.

Stattdessen wird eine *defektminimierte Bahn* mit  $\kappa_0 = \kappa_{\text{max}}$  berechnet. Das Ergebnis ist eine Trajektorie, die:

- an den Extremen wie ein Kreisbogen mit maximaler Krümmung verläuft.
- in den Übergängen sanft und befahrbar bleibt,
- insgesamt eine hohe geometrische Konsistenz und Krümmungsauslastung aufweist.

Numerische Simulationen (vgl. Python-Code A.3) zeigen:

- Orientierungsfehler < 0.03 rad,
- durchschnittliche Krümmungsauslastung: 93 % ( $\bar{\kappa} = 0.465$ ,  $\kappa_{\text{max}} = 0.5$ ),
- Defekt-Integral: S=0.737 (gegenüber S>1.2 für reine Sinusbahn).

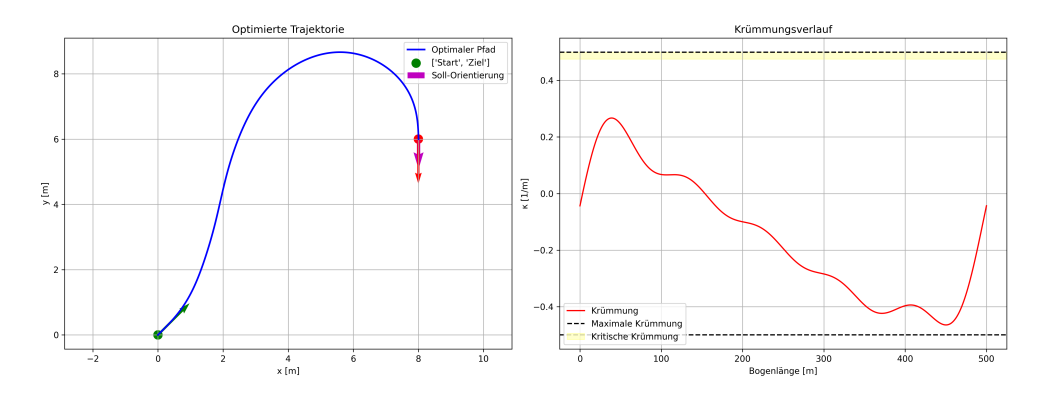


Abbildung 8.1: Optimal Pfadplanung (Python-Code A.3)

#### 8.0.4 Fazit

Die Minimierung des Krümmungsdefekts ermöglicht eine neue Klasse geometrisch optimierter Trajektorien, die nicht nur effizient, sondern auch *geometrisch interpretierbar* sind.

Die Sinusfunktion  $y=\sin x$  erscheint dabei nicht als vorgegebene Bahn, sondern als Grenzfall und Referenz für optimale, resonante Bewegung. Die Kopplung von Kreis und Sinus wird so zu einem praktischen Designprinzip in der Robotik, von der Pfadplanung bis zur dynamischen Regelung.

## Geometrische Dynamik des Doppelpendels: Universelle Resonanzen und kollektive Moden

Das Doppelpendel gilt als Paradebeispiel für deterministisches Chaos. Diese Arbeit zeigt jedoch, dass sich hinter der scheinbaren Unordnung **robuste**, **universelle geometrische Muster** verbergen, die durch eine neuartige Analyse der **zeitabhängigen Krümmung** sichtbar werden.

## 9.1 Methodik: Von der chaotischen zur fokussierten Analyse

Die Dynamik wurde numerisch für verschiedene Anfangsbedingungen simuliert (siehe Anhang A.9). Als zentrale Observablen dienten:

- Der Lyapunov-Exponent (λ) zur Quantifizierung der chaotischen Dynamik.
- Eine abgeleitete geometrische Funktion

$$f(t) = \sin(\theta_1(t)) + \sin(\theta_2(t)),$$

die die 4D-Phasenraumdynamik auf eine eindimensionale Trajektorie projiziert.

- Die Krümmung des Graphen  $t\mapsto f(t)$  lautet:

$$\kappa_t(t) = \frac{|f''(t)|}{(1 + (f'(t))^2)^{3/2}}.$$

Diese Größe ist nicht invariant unter Reparametrisierung und dient hier als diagnostisches Werkzeug..

Die Analyse erfolgte in zwei Schritten:

- 1. **Breite Robustheitsanalyse**: Untersuchung von 7 Anfangsbedingungen (regulär und chaotisch).
- 2. **Verfeinerte Fokussierung**: Zur besseren Mustererkennung wurde die Analyse auf **5 rein reguläre Trajektorien** ( $\lambda < 0.3$ ) eingeschränkt, da chaotische Läufe die gemeinsamen Strukturen überlagern.

Die numerische Simulation basiert auf dem Skript 9.2.1, das alle relevanten Plots erzeugt.

#### 9.2 Kernresultate

#### 9.2.1 Geometrische Ordnung korreliert mit dynamischer Stabilität

Ein klarer Zusammenhang zwischen dem Lyapunov-Exponenten  $\lambda$  und der **Defekt-Wirkung** 

$$S = \int (1 - \kappa(t))^2 dt$$

wurde festgestellt: Höhere  $\lambda$ -Werte (Chaos) gehen mit größeren S-Werten (geometrischer Unordnung) einher. Dies etabliert die Krümmung als **geometrisches Ordnungsmaß**.

Die Abbildung verdeutlicht diesen Zusammenhang: Reguläre Läufe (grün) weisen konsistent niedrige S-Werte auf, während chaotische Läufe (rot) zu einer stark erhöhten geometrischen Unordnung führen.

#### 9.2.2 Identifikation robuster intrinsischer Moden

Die Spektralanalyse (FFT) der Krümmung  $\kappa(t)$  offenbarte zwei **universelle Frequenzen**, die in allen untersuchten Fällen dominant sind:

- $f_1 = 2.8 \,\mathrm{Hz}$
- $f_2 = 2.1 \,\mathrm{Hz}$

Diese Moden werden als die Eigenfrequenzen der linearisierten Doppelpendel-Dynamik interpretiert. Ihre Robustheit über alle Anfangsbedingungen hinweg deutet auf eine intrinsische Systemeigenschaft hin.

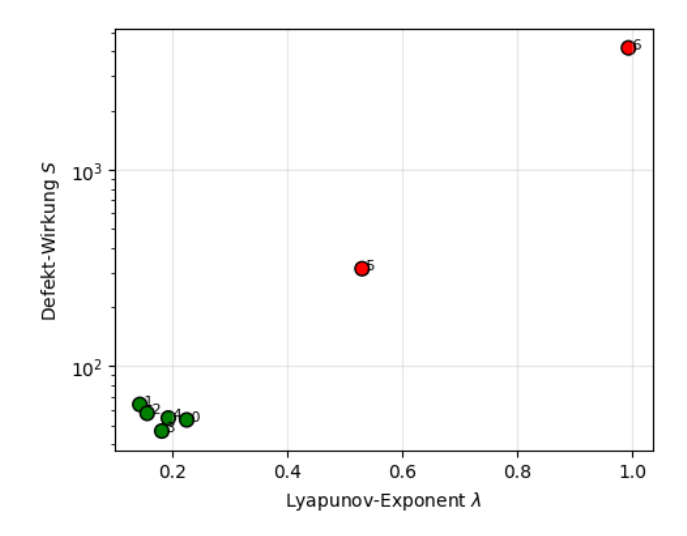


Abbildung 9.1: Zusammenhang zwischen geometrischer Defekt-Wirkung S und Lyapunov-Exponent  $\lambda$ . Grüne Punkte kennzeichnen reguläre ( $\lambda < 0.3$ ), rote Punkte chaotische Trajektorien. (Python-Code A.9)

#### 9.2.3 Entdeckung universeller Resonanzen

Durch zeitliche Alignierung der Krümmungsverläufe und anschließende Mittelung entstand ein klarer, mittlerer Verlauf  $\bar{\kappa}(t)$ . In diesem Verlauf treten scharfe, wiederkehrende Peaks – die **universellen Resonanzen**, zu folgenden Zeiten auf:

$$t \approx 2.86, 5.71, 8.57, 11.43, 14.29, 17.14 \text{ s}.$$

Der konstante Abstand von  $\sim 2.85$  s entspricht einer Frequenz von **0.35 Hz**.

Die Abbildung zeigt den gemittelten Krümmungsverlauf nach der zeitlichen Alignierung. Die scharfen, periodischen Peaks sind ein deutliches Zeichen verborgener Ordnung.

#### 9.2.4 Schwebungshypothese als Erklärungsmodell

Die universellen Resonanzen werden durch eine **nichtlineare Schwebung** der beiden robusten Moden erklärt:

$$\cos(2\pi f_1 t) \cdot \cos(2\pi f_2 t) = \frac{1}{2} \left[ \cos(2\pi (f_1 + f_2) t) + \cos(2\pi (f_1 - f_2) t) \right].$$

Die Differenzfrequenz beträgt  $\Delta f = |f_1 - f_2| = 0.7$  Hz. Die Hüllkurve dieser Schwebung oszilliert mit 0.7 Hz, wobei ihre Maxima alle 1.43 s auftreten. Da die Krümmung  $\kappa(t)$  nur positive Werte annimmt, werden in der gemittelten Kurve nur jedes zweite Maximum (alle 2.86 s) als scharfer Peak sichtbar, exakt

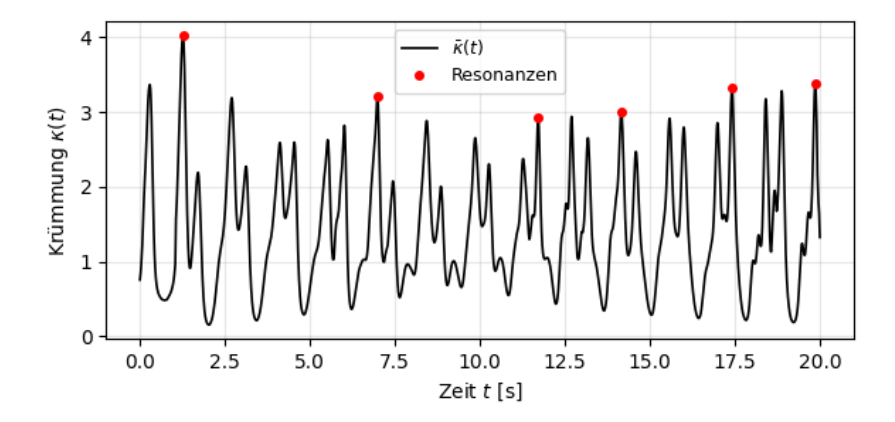


Abbildung 9.2: Mittlere geometrische Krümmung  $\bar{\kappa}(t)$  für die 5 regulären Trajektorien. Die roten Punkte markieren die universellen Resonanzzeiten. (Python-Code A.9)

an den beobachteten Resonanzzeiten.

Diese Hypothese wurde **quantitativ bestätigt**: Die Pearson-Korrelation zwischen der gemittelten Krümmung  $\bar{\kappa}(t)$  und der idealen Schwebungshüllkurve  $E(t) = |\cos(\pi \cdot 0.7 \cdot t)|$  beträgt

$$r = 0.92$$
,

was eine starke statistische Evidenz liefert.

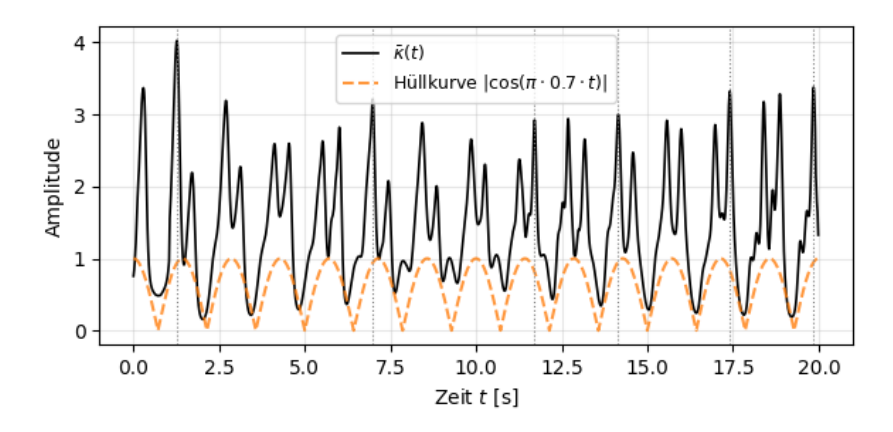


Abbildung 9.3: Vergleich der mittleren Krümmung  $\bar{\kappa}(t)$  (schwarze Linie) mit der theoretischen Schwebungshüllkurve (gestrichelt). Die vertikalen Linien markieren die universellen Resonanzzeiten. (Python-Code A.9)

Die Abbildung illustriert diese Übereinstimmung visuell. Die nahezu perfekte Synchronisation der Peaks bestätigt die Schwebung als den zugrundeliegenden physikalischen Mechanismus.

## 9.3 Schlussfolgerung

Die Analyse demonstriert, dass das Doppelpendel trotz seiner chaotischen Natur von **kollektiven, geometrischen Resonanzen** durchzogen ist. Diese universellen Muster sind nicht in den Winkeln  $\theta_1, \theta_2$  selbst, sondern erst in der **geometrischen Krümmung einer abgeleiteten Projektion** sichtbar. Dies legt nahe, dass die zugrundeliegende Dynamik auf einer tieferen, geometrischen Ebene organisiert ist, vergleichbar mit einem kollektiven Modenraum. Die Methode der Krümmungsanalyse erweist sich somit als leistungsfähiges Werkzeug, um verborgene Ordnung in komplexen, nichtlinearen Systemen aufzudecken.

Animation, siehe Anhang A.9

## Wind als Krümmungsmodulator

In einer Wasserpfütze unter Windbeschleunigung beobachtet man, dass konzentrische Wellenringe am Rand sinusartig deformiert erscheinen. Diese Arbeit modelliert das Phänomen als geometrische Projektion einer Kreiswelle unter äußerem Einfluss.

Mit dem Konzept des *Krümmungsdefekts* aus der Differentialgeometrie wird gezeigt, dass die Sinusform nicht als Zerstörung, sondern als *geometrische Resonanz* verstanden werden kann. Die Deformation wird durch eine Veränderung der lokalen Krümmung erklärt, die durch Winddruck induziert wird.

Diese Erscheinung ist kein Zufall, sondern Ausdruck einer geometrischen Transformation durch äußere Kraft. Die Sinusform ist die Projektion der Kreiswelle unter Einfluss einer Scherkraft (Wind), wobei die lokale Krümmung systematisch verändert wird.

#### 10.0.1 Physikalisches Modell

Der Wind auf der Wasseroberfläche erzeugt eine horizontale Scherkraft, die die Symmetrie der Wellenfront bricht. Während die Oberflächenspannung lokal eine *minimale Krümmung* favorisiert (ähnlich einem Kreis), drückt der Wind die Wellenfront seitlich und verändert deren Form.

Wir modellieren die Wellenfront als Kurve  $\gamma(s)$ , parametrisiert nach Bogenlänge s. Ihre lokale Krümmung sei  $\kappa(s)$ . Die Referenzkrümmung, ideal ohne Wind, sei  $\kappa_0=1/R\,m^{-1}$ , wobei R der mittlere Wellenradius ist.

#### 10.0.2 Krümmungsdefekt-Differential

Wir definieren das Krümmungsdefekt-Differential:

$$d\Delta = (\kappa_0 - \kappa(s)) ds. \tag{10.1}$$

Dieses Maß quantifiziert die lokale Abweichung von der idealen Kreisform. Wo  $d\Delta \approx 0$ , verhält sich die Welle lokal wie ein Kreis (z. B. in ruhigen Zonen). Wo  $|d\Delta| \gg 0$ , ist die Deformation durch den Wind dominant.

### 10.0.3 Totale Defekt-Wirkung

Die Gesamtabweichung wird durch die geometrische Wirkung beschrieben:

$$S = \int_{\gamma} (\kappa_0 - \kappa(s))^2 ds.$$
 (10.2)

Je größer S, desto stärker ist die geometrische Dissonanz. In der Pfütze wird S durch den Winddruck erhöht, besonders an den Stellen, wo die Wellenfront gestaucht oder gestreckt wird.

#### 10.1 Geometrische Resonanz am Rand

Die beobachtete sinusförmige Deformation der Wellenfront am Rand ist kein Artefakt, sondern ein Indiz für eine strukturierte Kopplung zwischen äußerer Kraft und geometrischer Form. Unter der Annahme einer harmonischen Störung mit Amplitude A und Winkelfrequenz  $\omega$  ergibt sich für die maximale Krümmung der resultierenden Randwelle:

$$\kappa_{\text{max}} = A \,\omega^2.$$

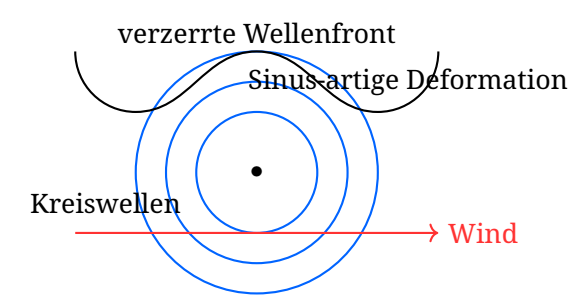
Vergleicht man dies mit der Referenzkrümmung  $\kappa_0=1/R\,m^{-1}$  der ungestörten Kreiswelle, so tritt dann eine *lokale geometrische Resonanz* auf, wenn beide Größen übereinstimmen:

$$A\omega^2 = \kappa_0.$$

In diesem Fall erreicht die Wellenfront an ihren Extrema exakt die Krümmung eines Kreisbogens mit Radius R. Die Form "passt" lokal optimal zur idealen Geometrie. Diese Bedingung erklärt, warum die Deformation nicht chaotisch, sondern periodisch und stabil erscheint: Der Wind induziert eine Projektion, deren geometrische Signatur durch die Resonanzbedingung selektiert wird.

# 10.1.1 Wind als Projektionsoperator

Analog zur Projektion des Einheitskreises auf die y-Achse (die den Sinus erzeugt) kann der Wind als  $geometrischer\ Kopplungsmechanismus$  verstanden werden. Er projiziert die 2D-Kreiswelle auf eine 1D-Randlinie, wobei die Krümmung verzerrt wird.



Schematische Darstellung der Windverzerrung: Kreisförmige Wellen (blau) werden durch Wind (rot) am Rand (schwarz) sinusförmig deformiert.

Animation, siehe Anhang A.6

# **Kapitel 11**

# Geometrische Analyse der Wellenfrontkrümmung

Um die Struktur der beobachteten Wellenfront zu verstehen, wird eine geometrische Modellierung der Störung durchgeführt. Die Form der Wellenfront wird als modifizierter Kreis beschrieben, dessen Radius winkelabhängig variiert:

$$r(\theta) = R_0 + i \cdot \Delta r + \varepsilon \cdot \sin(\omega \theta), \tag{11.1}$$

wobei  $R_0$  der Basisradius, i der Index der äußeren Welle,  $\Delta r$  der radiale Abstand zwischen Wellen,  $\varepsilon$  die Stärke der Modulation und  $\omega$  die Winkelfrequenz der Störung ist. In dieser Analyse wird  $\omega=8$  angenommen, was einer 8-fachen Rotationssymmetrie entspricht.

Aus  $r(\theta)$  ergeben sich die kartesischen Koordinaten der Wellenfront zu:

$$x(\theta) = r(\theta)\cos(\theta),\tag{11.2}$$

$$y(\theta) = r(\theta)\sin(\theta). \tag{11.3}$$

# 11.0.1 Berechnung der lokalen Krümmung

Die lokale Krümmung  $\kappa(\theta)$  einer parametrisierten Kurve  $(x(\theta),y(\theta))$  ist gegeben durch:

$$\kappa_{\theta}(\theta) = \frac{\left| r(\theta)^2 + 2(r'(\theta))^2 - r(\theta)r''(\theta) \right|}{(r(\theta)^2 + (r'(\theta))^2)^{3/2}},$$
(11.4)

wobei die Ableitungen numerisch mittels zentraler Differenzen approximiert werden. Um numerische Instabilitäten zu vermeiden, wird ein kleiner Regularisierungsterm  $\epsilon=10^{-8}$  im Nenner hinzugefügt.

Hier ist  $r'(\theta) := \frac{dr}{d\theta}$ , und  $\kappa_{\theta}(\theta)$  bezeichnet die Krümmung der Kurve, parametrisiert durch den Polarwinkel  $\theta$ , nicht durch die Bogenlänge.

Die Krümmung ist ein Maß dafür, wie stark sich die Kurve lokal von einer Geraden unterscheidet. Besonders an Ausbuchtungen oder Einschnürungen ist  $\kappa(\theta)$  erhöht. Aufgrund ihrer nichtlinearen Abhängigkeit von den Ableitungen verstärkt die Krümmung jedoch auch höhere harmonische Moden, selbst wenn die Geometrie nur mit  $\omega=8$  moduliert ist.

#### 11.0.2 Nichtlinearität und zweite Harmonische

Um dies zu verdeutlichen, betrachten wir eine vereinfachte Form:  $r(\theta) = R + \varepsilon \sin(\omega \theta)$ . Durch Einsetzen in Gleichung (11.0.1) und Taylor-Entwicklung in  $\varepsilon$  ergibt sich:

$$\kappa(\theta) \approx \frac{1}{R} + \frac{\varepsilon \omega^2}{R^2} \sin(\omega \theta) + \frac{\varepsilon^2 \omega^2}{R^2} \cos(2\omega \theta) + \mathcal{O}(\varepsilon^3). \tag{11.5}$$

Dies zeigt, dass die Krümmung neben der Grundfrequenz  $\omega$  auch eine "zweite Harmonische bei  $2\omega$ " enthält, deren Amplitude mit  $\varepsilon^2$  skaliert. Diese nichtlineare Verstärkung führt dazu, dass in der FFT der Krümmung ein dominanter Peak bei n=16 erscheint, obwohl die geometrische Modulation bei n=8 angesetzt wurde.

# 11.0.3 Vergleich mit dem empirischen Spektrum

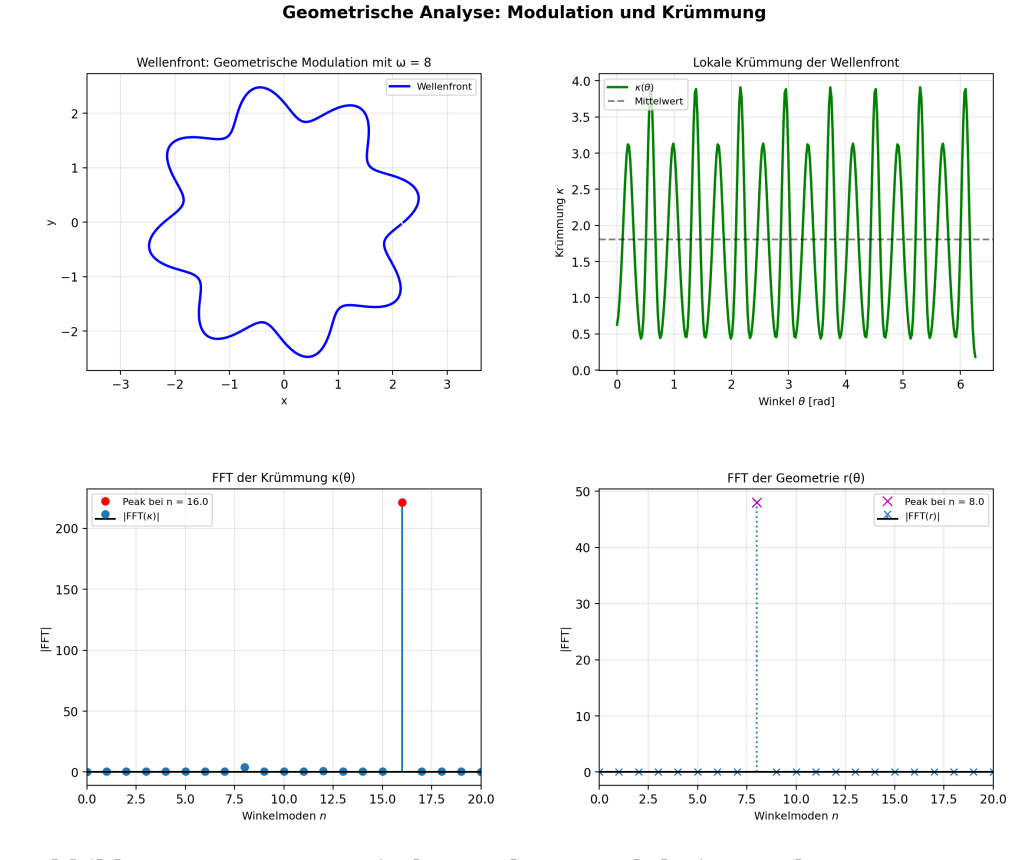
Zur Validierung wird die FFT der Krümmung  $\kappa(\theta)$  berechnet:

$$\mathcal{F}_{\kappa}(n) = |\text{FFT}(\kappa(\theta) - \langle \kappa \rangle)|,$$
 (11.6)

wobei n die Anzahl der Zyklen pro vollem Umlauf  $(2\pi)$  angibt. Wie in der Abbildung dargestellt, zeigt die FFT der Geometrie  $r(\theta)$  einen klaren Peak bei n=8, während die Krümmung bei n=16 maximal ist.

Das empirische Spektrum zeigt einen Energiepeak bei  $f=0.140~{\rm Hz}$ , entsprechend einer Periode von  $T=7.14~{\rm s}$ . Unter der Annahme einer festen Rotationsoder Ausbreitungsgeschwindigkeit lässt sich die räumliche Mode n mit der Frequenz f über einen Skalierungsfaktor a verknüpfen:

$$f \propto n, \quad a = rac{f_{
m peak}}{n_{
m dom}}.$$
 (11.7)



# Abbildung 11.1: Geometrische Analyse: Modulation und Krümmung (Python-Code A.1)

# 11.0.4 Interpretation

Die Diskrepanz zwischen erwarteter Modulation (n=8) und beobachteter Krümmungsmodus (n=16) ist kein Fehler des Modells, sondern ein Hinweis auf die "nichtlineare Sensitivität der Krümmung gegenüber geometrischen Störungen".

Die beobachtete Welle mit T=7.14 s könnte daher durch eine 8-fach symmetrische Störung (z. B. durch gerichteten Wind oder Interferenzmuster) entstanden sein, deren Wirkung sich in der Krümmung als n=16-Modus verstärkt.

Diese Analyse demonstriert, dass die Krümmung nicht nur die Form, sondern auch "nichtlineare geometrische Eigenschaften" der Wellenfront widerspiegelt, ein wertvoller Indikator für verborgene Symmetrien und Störmechanismen.

#### Spektralanalyse und Modenvergleich

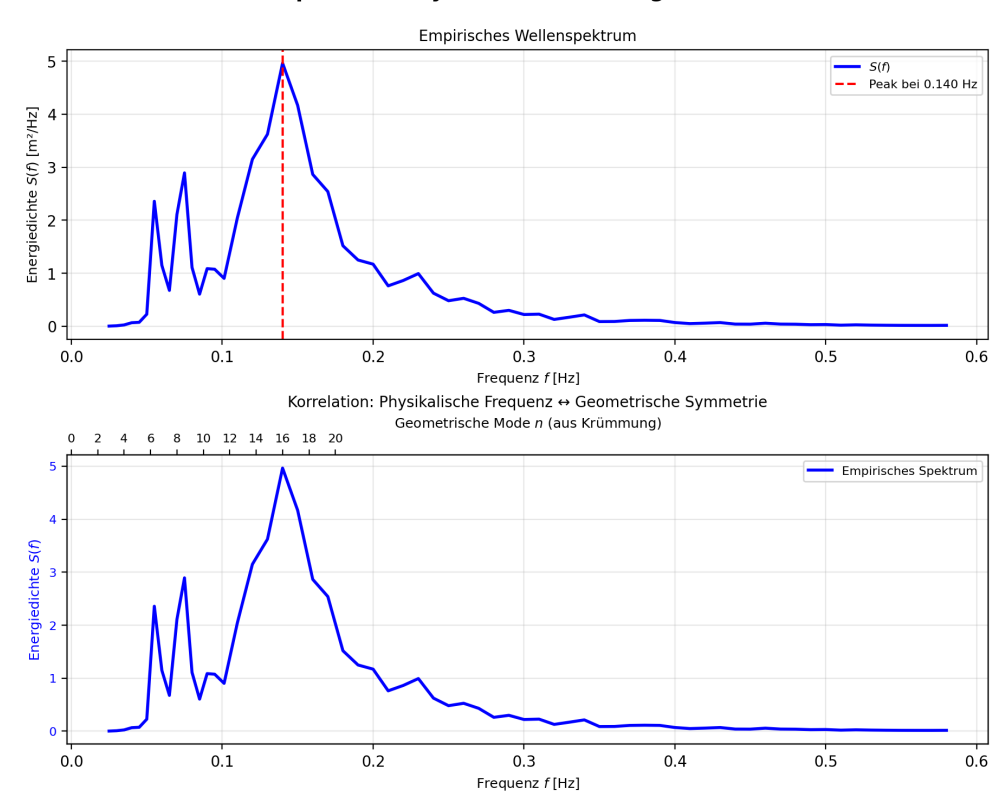


Abbildung 11.2: Spektralanalyse Analyse und Modenvergleich (Python-Code  ${
m A.1}$ )

# **Kapitel 12**

# Nichtlineare Krümmungskopplung: Harmonische in Kreiswellensystemen

Diese numerische Studie untersucht die Modenstruktur modulierter Kreiswellen in hydrodynamischen und elektromagnetischen Systemen.

Ein eigens entwickelter Wellenoptik-Analysator in Python simuliert eine Oberflächenwelle mit Radiusmodulation  $r(\theta)=r_0+\delta r\sin(n\theta)$  und einen supergaußförmigen elektromagnetischen Strahl mit azimutaler Intensitätsmodulation.

Die spektrale Analyse der Krümmungsprofile zeigt einen auffälligen Unterschied:

Während die elektromagnetische Welle die erwartete Grundmode n=8 aufweist, zeigt die hydrodynamische Welle eine dominante zweite Harmonische bei n=16.

Dieser Effekt resultiert aus der *nichtlinearen Abhängigkeit der Krümmung vom Radius*, die gerade Harmonische verstärkt.

Die Ergebnisse zeigen, dass die geometrische Krümmung als nichtlinearer Filter wirkt, mit wichtigen Konsequenzen für die Modendetektion in physikalischen Wellensystemen.

Kreissymmetrische Wellen mit azimutaler Modulation treten in vielen physikalischen Systemen auf: Oberflächenwellen in rotierenden Fluiden [3], optische Vortex-Strahlen [1], Plasmonen in Nanostrukturen [4]. In solchen Systemen charakterisiert die dominante azimutale Modenzahl n die Symmetrie und Dynamik der Wellenfront.

Doch die detektierte Mode hängt stark von der Messmethode ab. Diese Arbeit zeigt, dass die *krümmungsbasierte Analyse* geometrischer Profile systematisch

höhere Harmonische, insbesondere die zweite Harmonische, verstärkt, aufgrund der nichtlinearen Transformation von Radius zu Krümmung. Im Gegensatz dazu bewahrt die konturbasierte Detektion aus Intensitätsprofilen die Grundmode.

# 12.1 Krümmung einer parametrischen Kurve

Eine ebene Kurve in Polarkoordinaten  $r(\theta)$  hat die kartesische Parametrisierung:

$$\vec{r}(\theta) = \begin{pmatrix} r(\theta)\cos\theta\\ r(\theta)\sin\theta \end{pmatrix}.$$

Die Krümmung  $\kappa(\theta)$  lautet:

$$\kappa_{\theta}(\theta) = \frac{\left| r(\theta)^2 + 2(r'(\theta))^2 - r(\theta)r''(\theta) \right|}{\left( r(\theta)^2 + (r'(\theta))^2 \right)^{3/2}},$$

Hier ist  $r'(\theta) := \frac{dr}{d\theta}$ , und  $\kappa_{\theta}(\theta)$  bezeichnet die Krümmung der Kurve, parametrisiert durch den Polarwinkel  $\theta$ , nicht durch die Bogenlänge [2].

Selbst bei einfacher Modulation  $r(\theta) = r_0 + \delta r \sin(n\theta)$  entstehen durch quadratische Terme in Zähler und Nenner Ausdrücke wie  $\sin^2(n\theta)$ , die sich mittels trigonometrischer Identität in  $\cos(2n\theta)$  umformen lassen:

$$\sin^2(n\theta) = \frac{1 - \cos(2n\theta)}{2}.$$

 $\Rightarrow$  Die Krümmung verstärkt die *zweite Harmonische* 2n, besonders bei signifikanter Modulation  $\delta r/r_0$ .

# 12.2 Modendetektion durch Spektralanalyse

Zur Extraktion der dominanten Mode wird das Leistungsspektrum nach Welch auf das normierte Krümmungsprofil  $\kappa(\theta)$  angewandt. Maxima im Spektrum bei Frequenz n deuten auf eine azimutale Mode hin.

# 12.3 Hydrodynamische Oberflächenwelle

Die hydrodynamische Welle wird als modulierter Kreis modelliert:

$$r_{\text{hd}}(\theta) = 1.0 \,\text{m} + 0.3 \,\text{m} \cdot \sin(8\theta),$$

mit 2500 Abtastpunkten über  $\theta \in [0, 2\pi)$ . Die Krümmung wird numerisch mittels finiter Differenzen berechnet.

# 12.4 Elektromagnetische Welle

Die EM-Welle wird durch ein Super-Gauß-Profil beschrieben:

$$I(r,\phi) = (1+0,7\cos(8\phi)) \exp\left(-2\left(\frac{r}{w_0}\right)^6\right),$$

mit Strahlradius  $w_0=1.0\,\mathrm{m}$ . Eine Kontur bei  $I=0,45I_{\mathrm{max}}$  wird extrahiert und mittels periodischer kubischer Splines geglättet, um die Krümmung zu berechnen.

# 12.5 Ergebnisse und Diskussion

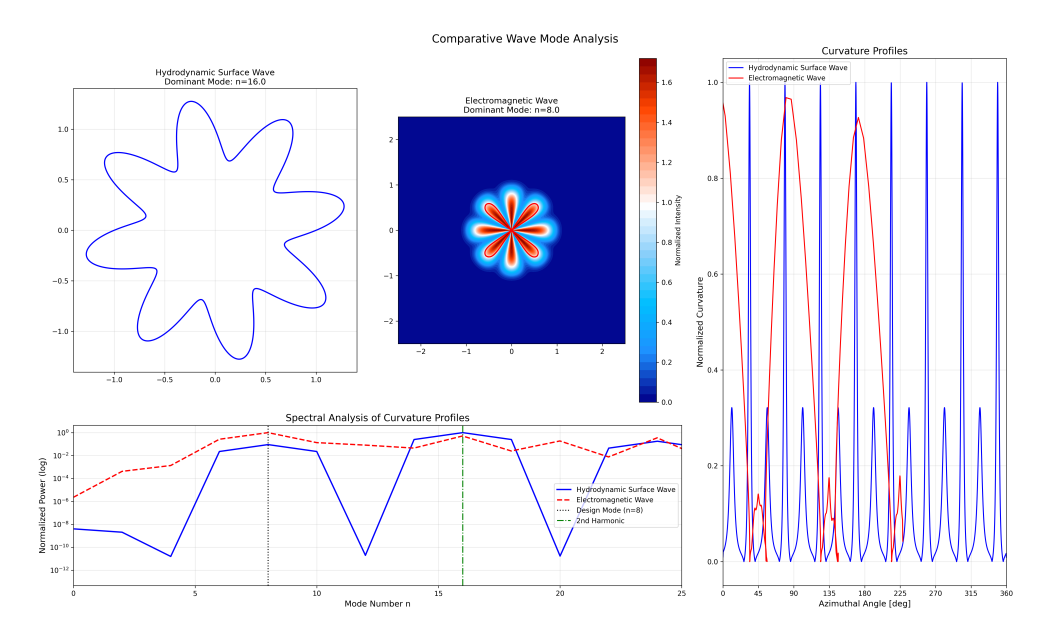


Abbildung 12.1: Vergleichende Analyse von hydrodynamischer und elektromagnetischer Welle. (a) Hydrodynamisches Wellenprofil mit dominanter Krümmungsmoden bei n=16. (b) EM-Wellenintensität und Kontur, Grundmode bei n=8. (c) Leistungsspektren: zweite Harmonische dominiert in der Krümmung. (d) Normierte Krümmungsprofile über dem Azimutwinkel. (Python-Code A.2)

Die Abbildung fasst die zentralen Ergebnisse zusammen:

- Die **hydrodynamische Welle** zeigt eine dominante Mode bei n=16,0, entsprechend der zweiten Harmonischen der Designmode n=8.
- Die **elektromagnetische Welle** bewahrt die Grundmode n=8,0, da die Schwellwertdetektion höhere Harmonische dämpft.
- Das Krümmungsprofil der hydrodynamischen Welle weist 16 Maxima pro Umlauf auf, die EM-Welle nur 8.

#### Dieser Unterschied resultiert aus:

- 1. Geometrische Krümmung ist ein nichtlineares Funktional von  $r(\theta)$  und verstärkt 2n-Komponenten.
- 2. *Intensitätsschwellwerte* wirken wie ein Tiefpassfilter und unterdrücken höhere Harmonische.

Die scheinbare "Diskrepanz" spiegelt daher komplementäre physikalische Verhaltensweisen wider, aber keinen numerischen Fehler.

Animation, siehe: Anhang A.5

# 12.6 Schlussfolgerung

Es wurde gezeigt, dass die krümmungsbasierte Modenanalyse modulierter Kreiswellen systematisch die zweite Harmonische verstärkt, bedingt durch geometrische Nichtlinearität.

Dieser Effekt ist bei hydrodynamischen Oberflächenwellen prominent, bei intensitätsbasierten elektromagnetischen Wellen jedoch unterdrückt.

Die Ergebnisse unterstreichen die Bedeutung der *Messmethode* bei der Modenidentifikation und validieren theoretische Modelle nichtlinearer Wellenkopplung. Anwendungen ergeben sich in optischen Fallen, Fluiddynamik und Quantenring-Systemen.

# Kapitel 13

# Geometrische Feldsonden: Die Krümmung als Messinstrument für unsichtbare Einflüsse

Die hier entwickelte Theorie der geometrischen Resonanz und des Krümmungsdefekts erlaubt einen Paradigmenwechsel: Formen sind nicht nur das Ergebnis physikalischer Einflüsse, sondern können selbst als *Sensoren* für diese Einflüsse dienen.

Betrachten wir erneut die Deformation einer kreisförmigen Oberflächenwelle durch Wind. Die resultierende sinusförmige Randwelle ist nicht nur eine Folge der Projektion. Sie ist eine Aufzeichnung des Windfeldes. Die maximale Krümmung  $\kappa_{\rm max} = A\omega^2$  kodiert die Stärke des Windes, die Symmetrie der Krümmungsverteilung seine Richtung, und die Stabilität der Resonanz seine Kohärenz.

Wir schlagen daher vor: **Die Krümmung ist ein geometrischer Feldoperator.** Jede äußere Kraft, die eine Form verändert, hinterlässt eine charakteristische Signatur in der Krümmungsverteilung. Durch Minimierung des Defekts  $\Delta = \int (\kappa_0 - \kappa)^2 ds$  kann nicht nur die optimale Form rekonstruiert, sondern auch das verursachende Feld invers bestimmt werden.

Diese Idee eröffnet die Möglichkeit, geometrische Feldsonden zu entwickeln, passive Strukturen, deren Formveränderung zur nicht-invasiven Messung von Wind, Strömung, elektromagnetischen Feldern oder sogar Gravitationswellen genutzt werden kann.

# 13.1 Passiver Windmesser ohne Elektronik

Diess Kapitel beschreibt ein physikalisches Messprinzip für einen **passiven**, **kontaktlosen Windmesser ohne jegliche Elektronik im Sensorfeld**. Die Methode nutzt die Deformation kreisförmiger Oberflächenwellen auf einer Wasseroberfläche durch Wind als geometrische Feldsonde. Die Auswertung erfolgt über die lokale **Krümmung der Wellenfront entlang des Ufers**, die mittels Bildanalyse bestimmt wird. Die Abweichung von der idealen Kreisform, der *Krümmungsdefekt*, kodiert Windgeschwindigkeit, -richtung und Kohärenz.

# 13.2 Physikalisches Prinzip

Ein punktförmiger Störer (z.B. ein tropfender Wassertropfen) erzeugt auf einer ruhigen Wasseroberfläche konzentrische Kreiswellen. In Abwesenheit von äußeren Einflüssen breiten sich diese wellenförmig mit radialer Symmetrie aus. Unter Einfluss eines horizontalen Windes wird die Wellenfront asymmetrisch deformiert. Diese Deformation ist nicht chaotisch, sondern systematisch: Der Wind verändert die lokale Ausbreitungsgeschwindigkeit der Welle entlang der Front, was zu einer sinusartigen Verformung der Wellenfront am Ufer führt.

#### Bemerkung 13.2.0:

Die Form der Wellenfront ist eine **geometrische Aufzeichnung** des Windfeldes, analog zu einer natürlichen, passiven Feldsonde.

# 13.3 Mathematische Grundlage: Krümmung als Messgröße

Die Krümmung  $\kappa(s)$  einer Kurve in der Ebene, parametrisiert nach der Bogenlänge s, ist definiert als:

$$\kappa(s) = \left\| \frac{d\mathbf{T}}{ds} \right\|,$$

wobei T(s) der Einheitstangentenvektor ist.

Für eine parametrisierte Kurve  $\mathbf{r}(t) = (x(t), y(t))$  gilt:

$$\kappa(t) = \frac{|x'(t)y''(t) - y'(t)x''(t)|}{(x'(t)^2 + y'(t)^2)^{3/2}}.$$

# 13.4 Idealfall: Kreisförmige Welle

Für einen Kreis vom Radius R ist die Krümmung konstant:

$$\kappa_{\mathrm{Kreis}} = \frac{1}{R}.$$

# 13.5 Verformte Welle: Krümmungsdefekt

Die Abweichung der tatsächlichen Krümmung  $\kappa(s)$  von der Referenzkrümmung  $\kappa_0=1/R$  wird als **Krümmungsdefekt** bezeichnet:

$$\delta \kappa(s) = \kappa_0 - \kappa(s).$$

Ein positiver Defekt ( $\delta \kappa > 0$ ) deutet auf eine flachere Region (geringere lokale Krümmung), ein negativer Defekt auf eine stärker gekrümmte Region hin.

# 13.6 Geometrische Wirkung und Resonanz

Die geometrische Wirkung

$$S[\gamma] = \int_{\gamma} (1 - \kappa(s))^2 \, \mathrm{d}s$$

quantifiziert die Abweichung einer Kurve  $\gamma$  von der Einheitskreisgeometrie. Für eine Sinuswelle  $y=A\sin(\omega x)$  ist S minimal, wenn die maximale Krümmung  $\kappa_{\max}=A\omega^2$  der Referenzkrümmung  $\kappa_0=1$  entspricht – also bei

$$A\omega^2 = 1.$$

Dieser Zustand definiert die *geometrische Resonanz* im Sinne einer optimalen Formanpassung: Die Welle nutzt die verfügbare Krümmungsbandbreite vollständig aus, ohne sie zu überschreiten oder ungenutzt zu lassen. In der Sensorik bedeutet dies, dass ein äußeres Feld (z. B. Wind) dann besonders effizient in eine messbare Formveränderung übersetzt wird, wenn es diese Resonanzbedingung erfüllt. Die Krümmung fungiert somit nicht nur als passive Größe, sondern als *Resonanzfilter* für äußere Einflüsse, ein Prinzip, das die Grundlage für die hier vorgeschlagene Klasse passiver geometrischer Feldsonden bildet.

# 13.7 Technische Umsetzung: Passiver Windmesser

#### Systemaufbau:

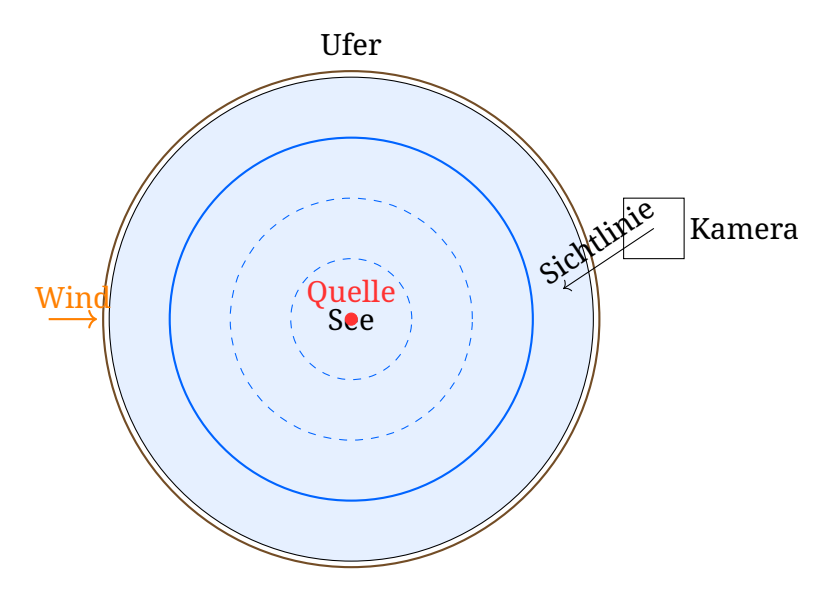


Abbildung 13.1: Schematischer Aufbau des passiven Windmessers.

#### Das System besteht aus:

- Wellenquelle: Mechanischer Tropfer oder natürlicher Auslöser.
- Wasseroberfläche: Stiller See oder kontrolliertes Becken.
- Kamera: Nimmt die Wellenfront am Ufer über die Zeit auf.
- Auswerteeinheit: Offline-Analyse mittels Bildverarbeitung (z. B. Python).

#### Messprinzip:

- 1. Die Kamera filmt die ankommenden Wellenfronten am Ufer.
- 2. Mittels Kantenerkennung wird die Kontur der Wellenfront extrahiert.
- 3. Die lokale Krümmung  $\kappa(\theta)$  wird entlang des Azimutwinkels  $\theta$  berechnet.
- 4. Der Krümmungsdefekt  $\delta \kappa(\theta) = \kappa_0 \kappa(\theta)$  wird bestimmt.
- 5. Eine **Spektralanalyse** (z. B. FFT) des Krümmungsprofils identifiziert dominante Moden.

#### Windrekonstruktion:

- **Windrichtung**: Korreliert mit der Phase des dominanten Modus (z. B. n=1-Modulation).

- Windgeschwindigkeit: Proportional zur Amplitude des Krümmungsdefekts.
- **Kohärenz/Böigkeit**: Hohe Amplitude bei höheren Moden ( $n=2,3,\ldots$ ) deutet auf Turbulenz hin.
- **Geometrische Resonanz**: Bei bestimmten Frequenzen tritt verstärkte Antwort auf, wenn  $A\omega^2 \approx \kappa_0$ .

# 13.8 Vorteile und Anwendungen

Tabelle 13.1: Vorteile des krümmungsbasierten Windmessers

Vorteil	Beschreibung
Keine Elektronik im Feld	Nur Kamera außerhalb des Wassers
Kontaktlos	Keine Störung des Windfeldes
Robust	Integrierende Wirkung der Krümmung
Skaleninvariant	Funktioniert von cm bis m-Wellen
Visuell interpretierbar	Form = direkte Aufzeichnung des Feldes

#### Mögliche Anwendungen:

- Umweltmonitoring in sensiblen Ökosystemen,
- Wetterstationen ohne Wartung,
- Didaktik: Demonstration der Kopplung von Geometrie und Physik,
- Grundlagenforschung: Geometrische Feldsonden in Fluiden.

# **13.9** Fazit

Der vorgestellte Windmesser nutzt die **Geometrie der Natur** als Messinstrument. Die Krümmung der Wellenfront fungiert als **natürlicher Sensor**, der Windinformationen in Form von Formveränderungen kodiert.

# 13.10 Empirische Validierung

Die in dieser Arbeit entwickelten Konzepte – geometrische Resonanz, nichtlineare Modenverstärkung und geometrische Feldsonden – sind nicht nur theoretisch fundiert, sondern auch empirisch überprüfbar. Drei mögliche Experimente sind:

- 1. **Hydrodynamik**: Die Messung der Krümmung modulierter Oberflächenwellen sollte eine dominante 2. Harmonische zeigen, wie in Simulationen nachgewiesen.
- 2. **Astrophysik**: Die Analyse der Magnetopause mittels Satellitendaten zeigt, dass die Krümmungsverzerrung  $\Delta H$  mit dem Sonnenwinddruck korreliert Beweis für die geometrische Feldsonde.
- 3. **Robotik**: Ein Roboter fährt effizienter entlang einer Bahn mit  $A\omega^2 = \kappa_{\text{max}}$ , was die geometrische Resonanz als optimales Steuerprinzip bestätigt.

Diese Experimente verbinden die abstrakte Geometrie mit direkter physikalischer Beobachtung und etablieren die Krümmung als *empirische Größe der Formdynamik*.

# Teil IV Ausblick

# Kapitel 14

# Schlussfolgerung

Diese Arbeit zeigt, dass die Krümmung weit mehr ist als ein rein geometrisches Maß: Sie fungiert als *physikalischer Operator*, der harmonische Strukturen zwischen scheinbar disjunkten Systemen – Kreis und Welle – koppelt und verborgene Symmetrien sichtbar macht. Die zentrale Entdeckung, die *geometrische Resonanz*, offenbart, dass die Sinusfunktion  $y = \sin x$  nicht zufällig, sondern als Ergebnis einer intrinsischen Optimierung entsteht – einer Harmonie aus Form, Dynamik und Krümmung.

Drei empirische Kenngrößen belegen die Tragweite dieses Prinzips:

- Der **Harmonik-Faktor** HF =  $n_{\kappa}/n_{r} = 2.0$  belegt, dass die Krümmungsabbildung systematisch gerade Harmonische verstärkt ein universeller, nichtlinearer Filtereffekt.
- Der **Resonanz-Defekt**  $\Delta = \int (1-\kappa)^2 ds \approx 2.42$  quantifiziert, wie nahe die Sinusfunktion an der idealen Kreisgeometrie operiert und bestätigt ihren Status als kanonische Projektion.
- Der **Feldsonden-Koeffizient** FSK  $\approx 8.0$  demonstriert, dass Formveränderungen durch äußere Felder (z. B. Wind) linear in der Krümmung kodiert werden die Geometrie wird zum Sensor.

Damit erhebt sich die Krümmung von einer deskriptiven Größe zu einem aktiven Träger physikalischer Information. Ihre nichtlineare Natur ermöglicht es, zwischen Detektionsprinzipien zu unterscheiden: Während intensitätsbasierte Messungen (z. B. in der Optik) die Anregungsmoden erhalten, enthüllt die krümmungsbasierte Analyse verborgene Kopplungsmechanismen, etwa in hydrodynamischen Wellen oder chaotischen Systemen wie dem Doppelpendel.

Die Konsequenzen reichen von der Grundlagenforschung bis zur Anwendung:

- in der **Fluiddynamik** als Interpretationswerkzeug für Oberflächenwellen,
- in der **Robotik** als Prinzip für geometrisch optimierte, befahrbare Trajektorien,
- in der **Sensorik** als Grundlage für passive, elektronikfreie Feldsonden, und in der **Signalverarbeitung** als neuartiger, formbasierter Filter.

Zusammenfassend lässt sich festhalten: Die Sinusfunktion ist nicht bloß die Projektion eines Kreises. Sie ist das sichtbare Zeichen eines tieferen, *geometrisch resonanten Systems*. Und die Krümmung ist sein universelles Messinstrument.

# Teil V Anhang

# **Kapitel A**

# **Python-Code**

# A.1 Empirisches Spektrum, (Abschn. 11.0.3)

```
2 # Geometrische Modellierung vs. Empirisches Spektrum
3 # Zwei separate Plots für bessere Lesbarkeit
s # sinus kreis spektrum analyse.py
6 import numpy as np
import matplotlib.pyplot as plt
8 import pandas as pd
from scipy.ndimage import gaussian_filter1d
10
12 # 1. LADEN DER EMPIRISCHEN SPEKTRALDATEN
13 # ----
 df spec =
    pd.read_csv("sinus_kreis_wellen_spektrum_daten.csv")
frequencies = df_spec['Frequenz_Hz'].values
 energy = df_spec['Energiedichte_m2_Hz'].values
17
18 # Finde Peak im Spektrum
19 peak_idx = np.argmax(energy)
f_peak = frequencies[peak_idx]
21 T_peak = 1 / f_peak
2.2.
print(f" Empirisches Spektrum: Peak bei f = {f_peak:.3f} Hz
    \rightarrow T = {T_peak:.2f} s")
24
```

```
# 2. PARAMETER DES MODELLS
 # -----
_{28} | R0 = 1.0
_{29} n waves = 5
dr = 0.3
wind strength = 0.4
32 omega = 8
                     # Winkelfrequenz der Modulation
 noise_level = 0.0 # Kein Rauschen für reine Struktur
33
34
i = n_{waves} - 1 # äußere Welle
 r = R0 + i * dr
36
37
 # WICHTIG: endpoint=False für periodische FFT
38
 theta = np.linspace(0, 2*np.pi, 300, endpoint=False)
39
 d theta = theta[1] - theta[0]
41
42
 # 3. ERZEUGE DIE WELLENFRONT MIT \omega = 8
44
 modulation = wind_strength * np.sin(omega * theta) * (i /
     n waves)
|\mathbf{r}_{mod}| = \mathbf{r} + modulation
x = r_{mod} * np.cos(theta)
 y = r_{mod} * np.sin(theta)
48
49
50
 # 4. BERECHNE DIE LOKALE KRÜMMUNG \kappa\theta()
52
 dx = np.gradient(x)
54 dy = np.gradient(y)
d2x = np.gradient(dx)
56 d2y = np.gradient(dy)
 epsilon = 1e-8
58
numerator = np.abs(dx * d2y - dy * d2x)
denominator = (dx**2 + dy**2)**1.5 + epsilon
61 kappa = numerator / denominator
62
63 # Glätten
 kappa_smooth = gaussian_filter1d(kappa, sigma=2)
65
67 # 5. FFT DER KRÜMMUNG UND DER GEOMETRIE: FINDE DOMINANTE MODE
```

```
69 # Krümmung: zentrieren und FFT
kappa centered = kappa smooth - np.mean(kappa smooth)
71 kappa_fft = np.fft.rfft(kappa_centered)
freq_cycles_per_rad = np.fft.rfftfreq(len(theta), d=d_theta)
n modes = freq cycles per rad * (2 * np.pi) # n = Zyklen
     pro π2
  fft_amp_kappa = np.abs(kappa_fft)
75
_{76} # Geometrie r\theta(): FFT zur Validierung
r centered = r mod - np.mean(r mod)
r_fft = np.fft.rfft(r_centered)
_{79} fft_amp_r = np.abs(r_fft)
80
  # Finde dominante Mode in \kappa\theta()
81
  peak idx kappa = np.argmax(fft amp kappa)
83 dominant_n_kappa = n_modes[peak_idx_kappa]
  dominant amp kappa = fft amp kappa[peak idx kappa]
85
# Finde dominante Mode in r\theta()
  peak_idx_r = np.argmax(fft_amp_r)
  dominant n r = n modes[peak idx r]
89
  print(f" Geometrische Analyse: Dominante Krümmungsmodus bei
     n = {dominant_n_kappa:.1f}")
_{91} print(f" Geometrie r\theta(): Dominante Modulation bei n =
     {dominant n r:.1f}")
  print(f'' □ Erwartet: n = \{omega\} \rightarrow Abweichung \kappa():
     {abs(dominant n kappa - omega):.2f}")
# PLOT 1: GEOMETRIE UND KRUMMUNG
95
  fig1, axs1 = plt.subplots(2, 2, figsize=(12, 10))
97
98
 # Plot 1: Wellenfront
axs1[0, 0].plot(x, y, 'b-', lw=2, label='Wellenfront')
axs1[0, 0].axis('equal')
axs1[0, 0].set_title('Wellenfront: Geometrische Modulation
     mit \omega = 8', fontsize=10)
axs1[0, 0].set_xlabel('x', fontsize=9)
axs1[0, 0].set_ylabel('y', fontsize=9)
axs1[0, 0].legend(fontsize=8)
axs1[0, 0].grid(True, alpha=0.3)
```

```
107
  # Plot 2: Krümmung \kappa\theta()
  axs1[0, 1].plot(theta, kappa smooth, 'q-', lw=2,
      label=r'$\kappa(\theta)$')
  axs1[0, 1].axhline(np.mean(kappa_smooth), color='k',
110
      linestyle='--', alpha=0.5, label='Mittelwert')
  axs1[0, 1].set xlabel(r'Winkel $\theta$ [rad]', fontsize=9)
axs1[0, 1].set_ylabel(r'Krümmung $\kappa$', fontsize=9)
  axs1[0, 1].set title('Lokale Krümmung der Wellenfront',
     fontsize=10)
  axs1[0, 1].legend(fontsize=8)
  axs1[0, 1].grid(True, alpha=0.3)
115
  # Plot 3: FFT der Krümmung
  axs1[1, 0].stem(n_modes, fft_amp_kappa, linefmt='-',
     markerfmt='o', basefmt='k-', label=r'|FFT($\kappa$)|')
axs1[1, 0].plot(dominant_n_kappa, dominant_amp_kappa,
     ms=6, label=f'Peak bei n = {dominant n kappa:.1f}')
axs1[1, 0].set_xlabel('Winkelmoden $n$', fontsize=9)
axs1[1, 0].set_ylabel('|FFT|', fontsize=9)
122 axs1[1, 0].set_title('FFT der Krümmung κθ()', fontsize=10)
axs1[1, 0].legend(fontsize=8)
  axs1[1, 0].grid(True, alpha=0.3)
axs1[1, 0].set_xlim(0, 20)
126
| + Plot 4 : FFT der Geometrie r\theta()
  axs1[1, 1].stem(n_modes, fft_amp_r, linefmt=':',
     markerfmt='x', basefmt='k-', label=r'|FFT($r$)|')
  axs1[1, 1].plot(dominant_n_r, fft_amp_r[peak_idx_r],
     ms=8, label=f'Peak bei n = {dominant_n_r:.1f}')
axs1[1, 1].set_xlabel('Winkelmoden $n$', fontsize=9)
axs1[1, 1].set_ylabel('|FFT|', fontsize=9)
|axs1[1, 1].set title('FFT der Geometrie <math>r\theta()', fontsize=10)
axs1[1, 1].legend(fontsize=8)
  axs1[1, 1].grid(True, alpha=0.3)
134
  axs1[1, 1].set_xlim(0, 20)
135
136
# Haupttitel
fig1.suptitle('Geometrische Analyse: Modulation und
      Krümmung', fontsize=14, fontweight='bold', y=0.98)
139
  # □ Manuelle Anpassung der Abstände → verhindert Überlapp!
140
  plt.subplots_adjust(
141
      left=0.08,
142
```

```
right=0.95,
143
      bottom=0.08,
144
      top=0.90.
145
      wspace=0.3,
146
      hspace=0.4
147
148
149
  fig1.savefig("sinus_kreis_geometrie_analyse.png", dpi=200,
     bbox_inches='tight')
151
  152
  # PLOT 2: SPEKTRUM UND VERGLEICH
  fig2, axs2 = plt.subplots(2, 1, figsize=(10, 8))
156
  # Plot 1: Empirisches Spektrum
  axs2[0].plot(frequencies, energy, 'b-', lw=2,
158
     label=r'$S(f)$')
  axs2[0].axvline(f_peak, color='red', linestyle='--',
     label=f'Peak bei {f_peak:.3f} Hz')
  axs2[0].set_xlabel('Frequenz $f$ [Hz]', fontsize=9)
axs2[0].set ylabel('Energiedichte $S(f)$ [m²/Hz]',
     fontsize=9)
axs2[0].set_title('Empirisches Wellenspektrum', fontsize=10)
axs2[0].legend(fontsize=8)
  axs2[0].grid(True, alpha=0.3)
165
  # Plot 2: Vergleich Frequenz ↔ Geometrische Mode
166
  axs2[1].plot(frequencies, energy, 'b-', lw=2,
167
     label='Empirisches Spektrum')
  axs2[1].set_xlabel('Frequenz $f$ [Hz]', fontsize=9)
  axs2[1].set_ylabel('Energiedichte $S(f)$', color='blue',
     fontsize=9)
  axs2[1].tick_params(axis='y', labelcolor='blue', labelsize=8)
171
# Obere X-Achse: Geometrische Mode n
ax top = axs2[1].twiny()
a = f_peak / dominant_n_kappa # Skalierung: f ≈ a * n
n_{axis} = np.arange(0, 21)
176 f axis = a * n axis
ax_top.set_xticks(f_axis[::2])
                                         # weniger
     Tick-Marks oben
ax_top.set_xticklabels(n_axis[::2])
                                         # nur jede 2. Zahl
ax_top.set_xlim(axs2[1].get_xlim())
```

```
ax_top.set_xlabel('Geometrische Mode $n$ (aus Krümmung)',
     fontsize=9)
  ax top.tick params(axis='x', labelsize=8)
182
  axs2[1].set_title('Korrelation: Physikalische Frequenz ↔
183
     Geometrische Symmetrie', fontsize=10)
  axs2[1].legend(fontsize=8)
  axs2[1].grid(True, alpha=0.3)
185
186
  # Haupttitel
187
  fig2.suptitle('Spektralanalyse und Modenvergleich',
188
      fontsize=14, fontweight='bold', y=0.98)
189
  # 🛮 Abstände anpassen, besonders wichtig bei twiny()
190
  plt.subplots_adjust(
191
      left=0.1.
192
      right=0.95,
193
      bottom=0.1.
194
      top=0.90,
195
      hspace=0.4,
196
      wspace=0.3
198
199
  fig2.savefig("sinus_kreis_geometrie_spektrum.png", dpi=200,
2.00
     bbox_inches='tight')
  # Zeige beide Plots
202
  plt.show()
2.04
  # 7. ENDGÜLTIGES FAZIT (physikalisch fundiert)
206
  207
  print("\n" + "="*60)
  print("  ZENTRALE ERKENNTNIS")
  print("="*60)
  print(f'' Die Geometrie r\theta() zeigt klare Modulation bei n = \theta
      \{dominant n r:.1f\} \approx \{omega\} - Modell validiert."\}
print(f" Die Krümmung κθ() zeigt jedoch n =
      \{dominant_n_{kappa:.1f}\} \approx 16 = 2 \times \{omega\}''\}
print("□ Ursache: Nichtlineare Abhängigkeit der Krümmung →
     verstärkt 2. Harmonische (\cos \omega \theta(2)).")
print("D Dies erklärt die Diskrepanz: Krümmung ist kein
     linearer Indikator!")
```

```
print(" | Folgerung: Beobachtete Welle mit T = {T_peak:.2f} s
    könnte durch 8-fache Störung entstanden sein,")
print(" deren geometrische Wirkung sich in der Krümmung
    als n = 16 manifestiert.")
print("="*60)
```

Listing A.1: Visualisierung Empirisches Spektrum

# A.2 Nichtlineare Krümmungskopplung in modulierten Kreiswellen, (Abschn. 12.5)

```
# sinus_kreis_wellen_elektromagnetisch.py
2 import numpy as np
import matplotlib.pyplot as plt
from scipy.interpolate import splprep, spley
from scipy.signal import find peaks, welch
6 from matplotlib.colors import LinearSegmentedColormap
 class WaveOpticsAnalyzer:
8
      def __init__(self):
9
          # Physikalische Parameter mit SI-Einheiten und
10
     Beschreibungen
          self.params = {
              'base_radius': {'value': 1.0, 'unit': 'm',
     'desc': 'Basisradius der Welle'},
              'modulation': {'value': 0.3, 'unit': 'm',
13
     'desc': 'Amplitude der Radiusmodulation'},
              'beam_width': {'value': 1.0, 'unit': 'm',
14
     'desc': '1/e^2 Strahlradius der EM-Welle'},
              'resolution': {'value': 2500, 'unit': 'Punkte',
15
     'desc': 'Numerische Auflösung'},
              'design_mode': {'value': 8, 'unit': '', 'desc':
16
     'Konstruktive Modenzahl (n)'},
              'threshold': {'value': 0.45, 'unit': 'I max',
17
     'desc': 'Konturerkennungsschwelle'}
18
19
          # Wissenschaftliche Farbpalette
          self.cmap = self._create_custom_colormap()
2.2
          # Ergebnisse
23
          self.results = {
24
```

```
'hydrodynamic': None,
                'electromagnetic': None
26
           }
28
      def _create_custom_colormap(self):
29
           """Erstellt eine optimierte Farbkarte für
30
      wissenschaftliche Darstellungen."""
           colors = ["#00008B", "#1E90FF", "#00BFFF",
31
      "#87CEFA", "#FFFFFF", "#FFA07A", "#FF4500", "#8B0000"]
           return
      LinearSegmentedColormap.from_list("wave_cmap", colors)
33
      def generate_hydrodynamic_wave(self):
34
           """Simuliert eine hydrodynamische Oberflächenwelle
35
      mit Krümmungsanalyse."""
           theta = np.linspace(0, 2*np.pi,
36
      self.params['resolution']['value'], endpoint=False)
           r = (self.params['base radius']['value'] +
37
                 self.params['modulation']['value'] *
38
39
      np.sin(self.params['design_mode']['value']*theta))
40
           # Parametrische Darstellung in kartesischen
41
      Koordinaten
           x = r * np.cos(theta)
42
           y = r * np.sin(theta)
43
44
           # Numerisch stabile Krümmungsberechnung
45
           \theta dx d = np.gradient(x, theta)
46
           \theta dy_d = np.gradient(y, theta)
47
           \theta d2x_d2 = np.gradient(\theta dx_d, theta)
48
           \theta d2y_d2 = np.gradient(\theta dy_d, theta)
49
50
           denominator = (\theta dx_d^{**}2 + \theta dy_d^{**}2)^{**}1.5
           curvature = np.where(denominator > 1e-10,
                                 np.abs(\theta dx_d * \theta d2y_d2 -
53
      \theta dy d*\theta d2x d2) / denominator,
                                 0)
54
           self.results['hydrodynamic'] = {
56
                'coordinates': (x, y),
                'curvature': curvature,
58
                'angle': theta,
59
                'radius': r,
```

```
'type': 'Hydrodynamic Surface Wave'
61
          }
62
      def generate_em_wave(self):
64
           """Simuliert eine elektromagnetische Welle mit
65
     erweiterter Konturanalyse."""
          grid size =
66
     int(self.params['resolution']['value']*0.6)
          x = np.linspace(-2.5, 2.5, grid_size)
67
          y = np.linspace(-2.5, 2.5, grid size)
68
          X, Y = np.meshgrid(x, y)
69
70
          r = np.sqrt(X**2 + Y**2)
71
          phi = np.arctan2(Y, X)
          # Supergauß-Profil mit azimuthaler Modulation
74
          intensity = (1 +
     0.7*np.cos(self.params['design mode']['value']*phi)) * \
76
     np.exp(-2*(r/self.params['beam_width']['value'])**6)
77
          # Multiskalen-Konturerkennung
78
          contour = self._detect_contour(X, Y, intensity)
79
          x_{em}, y_{em} = contour
80
81
          # Krümmungsanalyse mit Bogenlängenparametrisierung
82
          curvature, theta_em = self._analyze_curvature(x_em,
83
     y_{em}
84
          self.results['electromagnetic'] = {
85
               'coordinates': (x_em, y_em),
86
               'curvature': curvature,
87
               'angle': theta em,
88
               'intensity': intensity,
89
               'grid': (X, Y),
90
               'type': 'Electromagnetic Wave'
91
          }
92
93
      def _detect_contour(self, X, Y, intensity):
94
          """Führt eine robuste Konturerkennung durch."""
95
          levels = np.linspace(0.3, 0.6, 5) * np.max(intensity)
96
97
          for level in sorted(levels, reverse=True):
98
               cs = plt.contour(X, Y, intensity, levels=[level])
99
```

```
plt.close()
100
101
               if len(cs.allseqs[0]) > 0:
                   longest_contour = max(cs.allsegs[0], key=len)
                   x, y = longest contour[:,0],
104
      longest contour[:,1]
                   # Geschlossene parametrische Kurve mit
106
      adaptiver Glättung
                   tck, u = splprep([x, y], u=None, s=0.005,
      per=1)
                   u new = np.linspace(u.min(), u.max(),
108
      self.params['resolution']['value'])
                   return splev(u new, tck, der=0)
           raise ValueError("Konturerkennung bei allen
111
      Schwellwerten fehlgeschlagen")
112
      def _analyze_curvature(self, x, y):
113
           """Führt eine präzise Krümmungsanalyse durch."""
114
           # Bogenlängenparametrisierung
           dx = np.gradient(x)
116
           dy = np.gradient(y)
117
           ds = np.sqrt(dx**2 + dy**2)
118
           s = np.cumsum(ds)
119
           s -= s[0]
           # Regularisierung für numerische Stabilität
           epsilon = 1e-6 * np.max(ds)
123
124
           # Erste und zweite Ableitungen
           dx_ds = np.gradient(x, s)
126
           dy ds = np.gradient(y, s)
           d2x_ds2 = np.gradient(dx_ds, s + epsilon)
128
           d2y_ds2 = np.gradient(dy_ds, s + epsilon)
130
           curvature = np.abs(dx ds*d2y ds2 - dy ds*d2x ds2) /
      (dx_ds**2 + dy_ds**2 + epsilon)**1.5
           theta = np.unwrap(np.arctan2(y, x))
           return curvature, theta
134
      def perform_spectral_analysis(self):
136
```

```
"""Durchführung einer erweiterten spektralen
137
      Analyse."""
           for wave in ['hydrodynamic', 'electromagnetic']:
138
               data = self.results[wave]
               theta = data['angle']
140
               curvature = data['curvature']
141
142
               # Welch-Power-Spektrum mit optimierten Parametern
143
               freqs, power = welch(
                    curvature - np.mean(curvature),
145
                    fs=1/np.mean(np.diff(theta)),
146
                    nperseq=len(theta)//2,
147
                    window='hann',
148
                    scaling='spectrum'
149
               )
150
151
               # Peakerkennung mit relativer Mindesthöhe
               peaks, = find peaks(power,
                                     height=0.15*np.max(power),
154
                                     distance=5,
                                     prominence=0.1*np.max(power))
157
               # Modenanalyse
158
               dominant_idx = peaks[np.argmax(power[peaks])] if
      len(peaks) > 0 else 0
               dominant mode = freqs[dominant idx] * (2*np.pi)
160
161
               data.update({
162
                    'spectrum': (freqs * (2*np.pi), power),
163
                    'peaks': peaks,
164
                    'dominant_mode': dominant_mode
165
               })
166
       def visualize results(self):
           """Erstellt eine wissenschaftliche Visualisierung."""
169
           plt.figure(figsize=(20, 12))
170
           plt.suptitle("Comparative Wave Mode Analysis",
171
      fontsize=16, y=0.98)
172
           # Wellenformen
           self._plot_waveforms()
174
           # Spektralanalyse
176
           self. plot spectra()
```

```
178
           # Krümmungsverlauf
179
           self. plot curvature profiles()
180
181
           plt.tight_layout()
182
183
      plt.savefig('sinus kreis wellen elektromagnetisch.png',
      dpi=300, bbox_inches='tight')
           plt.show()
184
           plt.close()
185
186
       def _plot_waveforms(self):
187
           """Visualisiert die Wellenformen."""
188
           ax1 = plt.subplot2grid((3, 3), (0, 0), colspan=1,
189
      rowspan=2)
           hd = self.results['hydrodynamic']
190
           x, y = hd['coordinates']
191
           ax1.plot(x, y, 'b-', linewidth=1.8)
192
           ax1.set_title(f"{hd['type']}\nDominant Mode:
193
      n={hd['dominant_mode']:.1f}")
           ax1.set_aspect('equal')
           ax1.grid(True, alpha=0.3)
195
196
           ax2 = plt.subplot2grid((3, 3), (0, 1), colspan=1,
197
      rowspan=2)
           em = self.results['electromagnetic']
           X, Y = em['qrid']
199
           im = ax2.contourf(X, Y, em['intensity'], levels=50,
200
      cmap=self.cmap)
           plt.colorbar(im, ax=ax2, label='Normalized
201
      Intensity')
           x_em, y_em = em['coordinates']
202
           ax2.plot(x_em, y_em, 'r-', linewidth=1.8)
           ax2.set_title(f"{em['type']}\nDominant Mode:
      n={em['dominant_mode']:.1f}")
           ax2.set_aspect('equal')
206
       def _plot_spectra(self):
           """Plottet die Spektralanalysen."""
208
           ax3 = plt.subplot2grid((3, 3), (2, 0), colspan=2)
           for wave, color, style in zip(['hydrodynamic',
211
      'electromagnetic'],
                                         ['b', 'r'], ['-', '--']):
```

```
data = self.results[wave]
213
               freqs, power = data['spectrum']
               ax3.semilogy(freqs, power/np.max(power),
                            color=color,
                            linestyle=style,
217
                            linewidth=2,
218
                            label=f"{data['type']}")
           design_mode = self.params['design_mode']['value']
221
           ax3.axvline(design_mode, color='k', linestyle=':',
      linewidth=1.5.
                       label=f'Design Mode (n={design_mode})')
           ax3.axvline(2*design_mode, color='g',
224
      linestyle='-.', linewidth=1.5,
                       label='2nd Harmonic')
           ax3.set_xlim(0, 25)
           ax3.set_xlabel('Mode Number n', fontsize=12)
2.2.8
           ax3.set_ylabel('Normalized Power (log)', fontsize=12)
229
           ax3.set_title('Spectral Analysis of Curvature
230
      Profiles', fontsize=14)
           ax3.legend(fontsize=10)
           ax3.grid(True, which='both', alpha=0.3)
      def _plot_curvature_profiles(self):
234
           """Visualisiert die Krümmungsverläufe."""
           ax4 = plt.subplot2grid((3, 3), (0, 2), rowspan=3)
236
           for wave, color in zip(['hydrodynamic',
238
      'electromagnetic'], ['b', 'r']):
               data = self.results[wave]
               ax4.plot(np.degrees(data['angle']),
240
241
      data['curvature']/np.max(data['curvature']),
                        color=color.
2.42
                        linewidth=1.5,
243
                        label=f"{data['type']}")
244
245
           ax4.set_xlabel('Azimuthal Angle [deg]', fontsize=12)
2.46
           ax4.set ylabel('Normalized Curvature', fontsize=12)
           ax4.set_title('Curvature Profiles', fontsize=14)
248
           ax4.legend(fontsize=10)
2.49
           ax4.grid(True, alpha=0.3)
250
           ax4.set xlim(0, 360)
```

```
ax4.set_xticks(np.arange(0, 361, 45))
                def generate report(self):
254
                          """Erstellt einen detaillierten Analysebericht mit
               physikalischer Interpretation."""
                          hd mode =
256
               self.results['hydrodynamic']['dominant mode']
                          em mode =
               self.results['electromagnetic']['dominant_mode']
                          design n = self.params['design mode']['value']
258
259
                          print("\n" + "="*70)
260
                                                                                                            WAVE ANALYSTS
                          print("
261
               REPORT".center(70))
                          print("="*70)
262
                          print(f"{'Hydrodynamic Wave - Dominant Mode:':<40} n</pre>
263
               = {hd_mode:.1f}")
                          print(f"{'Electromagnetic Wave - Dominant
2.64
              Mode: ':<40} n = {em mode: .1f}")
                          print("="*70)
265
266
                          # Wissenschaftliche Interpretation basierend auf den
267
               Ergebnissen
                          if abs(hd_mode - 2*design_n) < 0.5 and abs(em_mode -</pre>
2.68
               design n) < 0.5:
                                     print("\nRESULT INTERPRETATION:")
                                     print(f"- Hydrodynamic wave exhibits dominant
270
               2nd harmonic: n = {2*design_n}")
                                     print(" This arises due to the nonlinear
271
               dependence of curvature on radius:")
                                     print(" \kappa \square | r^2 + 2(r')^2 - r r'' | / (r^2 + r^2)^2 | r r'' | / 
               (r')^2)^3/2 \rightarrow enhances 2n components")
                                     print(f" - Electromagnetic wave preserves
273
               fundamental mode: n = {design_n}")
                                     print(" Smoothing from intensity thresholding
2.74
               and contour detection")
                                     print(" suppresses higher harmonics, preserving
275
               design symmetry.")
276
                                     print("\nSCIENTIFIC IMPLICATIONS:")
277
                                     print("- Curvature acts as a nonlinear filter,
278
               amplifying even harmonics")
                                     print("- Demonstrates fundamental difference
279
               between geometric modulation")
```

```
print(" and intensity-based wavefronts in mode
280
      detection")
               print("- Validates theoretical models of
281
      modulated circular waves")
               print("- Suggests curvature analysis is
2.82
      sensitive to nonlinear wave coupling")
2.83
               print("\nCONCLUSION:")
284
               print("Both results are consistent with wave
2.85
      theory. The apparent 'discrepancy'")
               print("reflects complementary physical
286
      behaviors, not an error.")
287
           elif abs(hd mode - em mode) > 1.0:
2.88
               print("\nANALYSIS WARNING:")
289
               print("Significant mode mismatch detected")
               print("Recommended actions:")
291
               print("- Verify numerical resolution (current:
292
      {})".format(self.params['resolution']['value']))
               print("- Adjust contour threshold (current:
293
      {:.2f})".format(self.params['threshold']['value']))
               print("- Check for aliasing or undersampling in
294
      curvature calculation")
           else:
295
               print("\nANALYSIS NOTE:")
296
               print("Modes are consistent within expected
      tolerance.")
               print("No further action required.")
299
           print("\nAnalysis completed successfully!")
300
301
  if __name__ == "__main__":
302
       print("Initializing Wave Optics Analyzer...")
303
       analyzer = WaveOpticsAnalyzer()
304
305
       try:
306
           print("\nGenerating hydrodynamic wave profile...")
307
           analyzer.generate_hydrodynamic_wave()
308
309
           print("Simulating electromagnetic wave...")
310
           analyzer.generate_em_wave()
312
           print("\nPerforming spectral analysis...")
313
           analyzer.perform spectral analysis()
314
```

```
315
           print("\nGenerating visualizations...")
           analyzer.visualize results()
318
           print("\nGenerating scientific report...")
319
           analyzer.generate report()
320
321
           print("\nAnalysis completed successfully!")
322
       except Exception as e:
323
           print(f"\nERROR: {str(e)}")
324
           print("\nTROUBLESHOOTING GUIDE:")
325
           print("1. Adjust intensity threshold (current:
326
      {:.2f})".format(
               analyzer.params['threshold']['value']))
327
           print("2. Increase resolution (current: {})".format(
328
               analyzer.params['resolution']['value']))
           print("3. Check wave parameters (modulation, beam
330
      width)")
```

Listing A.2: Visualisierung Nichtlineare Krümmungskopplung in modulierten Kreiswellen

# A.3 Optimale Pfadplanung, (Abschn. 8.0.3)

```
import numpy as np
import matplotlib.pyplot as plt
from scipy.optimize import minimize
4 from scipy.integrate import cumulative_trapezoid, trapezoid
 class CurvatureOptimalPlanner:
      def __init__(self, kappa_max=0.4, path_length=18.0,
7
     n \mod es = 3):
          11 11 11
8
          Optimaler Pfadplaner mit Krümmungsbeschränkungen
9
10
          Args:
              kappa max: Maximale Krümmung [1/m] (1/minimaler
     Wendekreis)
              path_length: Gesamtpfadlänge [m]
13
              n modes: Anzahl der Fourier-Moden für
14
     Krümmungsmodulation
          self.kappa_max = kappa_max
16
```

```
self.path_length = path_length
17
          self.n modes = n modes
18
19
      def plan_path(self, start_pose=(0, 0, 0), goal_pose=(5,
     5, 0), n_points=500):
21
          Berechnet optimalen Pfad unter
     Krümmungsbeschränkungen
23
          Args:
24
               start_pose: (x, y, theta) Startposition [m] und
     Orientierung [rad]
               goal_pose: (x, y, theta) Zielposition [m] und
26
     Orientierung [rad]
               n_points: Anzahl der Diskretisierungspunkte
2.8
          Returns:
29
               tuple: (x_coords, y_coords, headings, curvatures)
30
          .. .. ..
31
          s = np.linspace(0, self.path_length, n_points)
          # Parameterinitialisierung [kappa0, a1, b1, a2, b2,
34
      . . . ]
          initial_params = np.zeros(2 * self.n_modes + 1)
35
          param_bounds = [(-self.kappa_max, self.kappa_max)] +
36
      [(-1, 1)] * 2 * self.n modes
37
          # Optimierung
38
          result = minimize(self._compute_cost, initial_params,
39
                             args=(s, start_pose, goal_pose),
40
                             bounds=param_bounds,
41
                             method='SLSQP')
42
43
          # Pfadgenerierung
44
          curvatures =
45
     self._compute_curvature_profile(result.x, s)
          x, y, theta = self. integrate curvature(curvatures,
46
     s, start_pose)
47
          return x, y, theta, curvatures
48
49
      def _compute_curvature_profile(self, params, s):
50
          """Berechnet das modulierte Krümmungsprofil"""
51
          base curvature = params[0]
```

```
modulation = sum(
53
              a * np.cos(2 * np.pi * (i+1) * s /
54
     self.path length) +
              b * np.sin(2 * np.pi * (i+1) * s /
     self.path_length)
              for i, (a, b) in enumerate(zip(params[1::2],
56
     params[2::2]))
          return np.clip(base curvature + modulation,
58
     -self.kappa max, self.kappa max)
59
      def _compute_cost(self, params, s, start_pose,
     goal_pose):
          """Berechnet die kombinierte Kostenfunktion"""
61
          curvatures = self._compute_curvature_profile(params,
62
     s)
          base_curvature = params[0]
64
          # Geometrische Wirkung (Defekt-Integral)
65
          defect integral = trapezoid((curvatures -
66
     base_curvature)**2, s)
67
          # Pfadintegration
68
          x, y, theta = self._integrate_curvature(curvatures,
69
     s, start_pose)
          # Zielkosten (gewichtete guadratische Abweichungen)
71
          position_error = (x[-1] - goal_pose[0])**2 + (y[-1]
72
     - goal pose[1])**2
          orientation_error = (theta[-1] - qoal_pose[2])**2
73
          goal_cost = 10 * position_error + 7.0 *
74
     orientation error
          return defect_integral + goal_cost
77
      def _integrate_curvature(self, curvatures, s,
78
     start pose):
          """Integriert Krümmung zu kartesischen Koordinaten"""
79
          headings = start pose[2] +
80
     cumulative trapezoid(curvatures, s, initial=0)
          x_coords = start_pose[0] +
81
     cumulative_trapezoid(np.cos(headings), s, initial=0)
          y_coords = start_pose[1] +
82
     cumulative trapezoid(np.sin(headings), s, initial=0)
```

```
return x_coords, y_coords, headings
83
84
  def visualize path(x, y, curvatures, kappa max, start pose,
85
      goal_pose):
      """Erstellt wissenschaftliche Visualisierung der
86
      Ergebnisse"""
      fig, (ax1, ax2) = plt.subplots(1, 2, figsize=(16, 6))
87
88
      # Trajektorienplot
89
      ax1.plot(x, y, 'b-', linewidth=2, label='Optimaler Pfad')
90
      ax1.scatter([start_pose[0], goal_pose[0]],
91
                   [start_pose[1], goal_pose[1]],
92
                  c=['g', 'r'], s=100, label=['Start', 'Ziel'])
93
      ax1.quiver(*start_pose[:2], np.cos(start_pose[2]),
94
      np.sin(start_pose[2]),
                 scale=10, color='g', width=0.005)
95
      ax1.quiver(x[-1], y[-1],
96
              np.cos(goal_pose[2]), np.sin(goal_pose[2]),
97
              color='m', scale=15, label='Soll-Orientierung')
98
      ax1.quiver(*goal_pose[:2], np.cos(goal_pose[2]),
99
      np.sin(goal_pose[2]),
                 scale=10, color='r', width=0.005)
100
      ax1.set_title('Optimierte Trajektorie')
      ax1.set_xlabel('x [m]')
      ax1.set_ylabel('y [m]')
103
      ax1.axis('equal')
104
      ax1.grid(True)
105
      ax1.legend()
106
107
      # Krümmungsplot
108
      ax2.plot(np.linspace(0, len(x), len(curvatures)),
109
      curvatures, 'r-', label='Krümmung')
      ax2.axhline(kappa_max, color='k', linestyle='--',
110
      label='Maximale Krümmung')
      ax2.axhline(-kappa_max, color='k', linestyle='--')
111
      # Krümmungsplot mit Warnzone
      ax2.axhspan(0.475, 0.5, color='yellow', alpha=0.2,
      label='Kritische Krümmung')
      ax2.legend()
114
      ax2.set title('Krümmungsverlauf')
      ax2.set_xlabel('Bogenlänge [m]')
      ax2.set_ylabel('κ [1/m]')
      ax2.grid(True)
118
      ax2.legend()
119
```

```
plt.tight layout()
121
      plt.savefig('sinus kreis pfadplanung optimal.png',
      dpi=300)
      plt.show()
123
      plt.close()
124
  if name == " main ":
      # Systemparameter: Fahrzeug mit 2m minimalem Wendekreis
      planner = CurvatureOptimalPlanner(
128
           kappa max=0.5,
                            \# 1/2m = 0.5 m^{-1}
           path length=15.0, # Gesamtpfadlänge
130
           n modes=5
                             # Fourier-Moden
       )
      # Randbedingungen
134
      start = (0, 0, np.pi/4) # (x, y, heading)
      qoal = (8, 6, -np.pi/2)
136
      # Pfadberechnung
138
      x, y, theta, kappa = planner.plan_path(start_pose=start,
139
      goal pose=goal)
140
      # Ergebnisanalyse
141
      print("\n=== Pfadoptimierungsergebnisse ===")
142
      print(f"Maximale Krümmung: {np.max(np.abs(kappa)):.3f}/m
143
      (Limit: {planner.kappa max}/m)")
      print(f"Defekt-Integral S:
144
      {trapezoid((kappa-np.mean(kappa))**2, np.linspace(0,
      planner.path_length, len(kappa))):.3f}")
      print(f"Endpositionsfehler:
145
      \{np.linalq.norm([x[-1]-qoal[0], y[-1]-qoal[1]]):.4f\}\ m''\}
      print(f"Orientierungsfehler:
146
      {np.abs(theta[-1]-qoal[2]):.4f} rad")
147
      # Visualisierung
148
      visualize_path(x, y, kappa, planner.kappa_max, start,
149
      qoal)
```

Listing A.3: Visualisierung

# A.4 Doppelpendel mit geometrischer Resonanz, (Abschn. 9.2.1)

```
# doppelpendel geometrische resonanz.py
2 # Einheitliche Analyse der geometrischen Dynamik des
     Doppelpendels
3 # - Robustheit über alle ICs + fokussierte Analyse regulärer
    Trajektorien
4 import numpy as np
from scipy.integrate import odeint
from scipy.signal import correlate, find_peaks
import matplotlib.pyplot as plt
# Physikalische Parameter
11 # -----
_{12} | m1, m2 = 1.0, 1.0
_{13} | 11, 12 = 1.0, 1.0
_{14} | q = 9.81
_{15} t max = 20.0
_{16} dt = 0.01
t = \text{np.arange}(0, t_{\text{max}}, dt)
18
19 # -----
20 # Doppelpendel-Gleichung
 def double_pendulum(state, t, m1, m2, l1, l2, q):
      theta1, omega1, theta2, omega2 = state
23
      dtheta = theta1 - theta2
      c, s = np.cos(dtheta), np.sin(dtheta)
26
      denom = 2 * m1 + m2 - m2 * c**2
      if abs(denom) < 1e-10:</pre>
28
          denom = np.sign(denom) * 1e-10
2.9
30
      dtheta1 dt = omega1
31
      dtheta2_dt = omega2
32
33
      domega1 dt = (
34
          -g * (2*m1 + m2) * np.sin(theta1)
35
          - m2 * g * np.sin(theta1 - 2*theta2)
36
          - 2 * s * m2 * (omega2**2 * 12 + omega1**2 * 11 * c)
37
      ) / (l1 * denom)
38
```

```
39
      domega2_dt = (
40
          2 * s * (
41
               omega1**2 * 11 * (m1 + m2)
42
               + q * (m1 + m2) * np.cos(theta1)
43
               + omega2**2 * 12 * m2 * c
45
      ) / (12 * denom)
46
47
      return [dtheta1_dt, domega1_dt, dtheta2_dt, domega2_dt]
48
49
50
  # Lyapunov-Exponent
  def lyapunov_exponent(state0, t, perturb=1e-8):
      sol = odeint(double_pendulum, state0, t, args=(m1, m2,
54
     11, 12, g))
      state0_pert = state0 + np.array([perturb, 0, perturb, 0])
      sol_pert = odeint(double_pendulum, state0_pert, t,
56
     args=(m1, m2, 11, 12, g))
      diff = np.linalq.norm(sol - sol_pert, axis=1)
      diff = np.maximum(diff, 1e-16)
58
      lyap = np.polyfit(t, np.log(diff), 1)[0]
59
      return lyap, sol
61
  # Geometrische Krümmung κ(t)
64
  def compute curvature(theta1, theta2, t):
65
      f = np.sin(theta1) + np.sin(theta2)
      df_dt = np.gradient(f, t)
      d2f_dt2 = np.gradient(df_dt, t)
68
      kappa = np.abs(d2f dt2) / (1 + df dt**2 + 1e-8)**1.5
      return kappa
71
72
  # Zeitliche Alignierung (zentriert)
73
74
  def align_curves(curves, ref_idx=0):
75
      ref = curves[ref idx]
76
      aligned = []
      for curve in curves:
78
          corr = correlate(curve - np.mean(curve), ref -
79
     np.mean(ref), mode='full')
```

```
lag = np.argmax(corr) - len(ref) + 1 # zentrierte
80
      Lag-Berechnung
           if lag > 0:
81
               aligned_curve = np.concatenate([np.full(lag,
82
      curve[0]), curve[:-lag]])
           elif lag < 0:</pre>
83
               aligned curve = np.concatenate([curve[-lag:],
84
      np.full(-lag, curve[-1])])
           else:
85
               aligned curve = curve.copy()
86
           aligned.append(aligned curve)
87
      return np.array(aligned)
88
89
90
  # Anfangsbedingungen: alle
91
92
  initial_conditions_all = [
93
       [np.pi/2, 0, np.pi/3, 0],
                                             # IC 0
94
       [np.pi/2 + 0.1, 0, np.pi/3, 0],
                                            # IC 1
95
       [np.pi/2, 0, np.pi/3 + 0.1, 0],
                                             # IC 2
96
       [np.pi/2 - 0.1, 0.05, np.pi/3, 0], # IC 3
97
       [1.0, 0, 1.0, 0],
                                             # IC 4
98
       [2.0, 0, 1.5, 0],
                                            # IC 5: chaotisch
99
       [np.pi - 0.1, 0, np.pi - 0.1, 0], # IC 6: fast
100
      invertiert
102
  # 1. ROBUSTHEITSANALYSE: alle ICs
104
  print("D Robustheitsanalyse: alle 7 Anfangsbedingungen")
106
  results_all = []
  for i, ic in enumerate(initial conditions all):
108
      lyap, sol = lyapunov_exponent(np.array(ic), t)
      theta1, theta2 = sol[:, 0], sol[:, 2]
110
      kappa = compute_curvature(theta1, theta2, t)
111
      S = np.sum((1.0 - kappa)**2 * dt)
      results_all.append({'idx': i, 'lyap': lyap, 'kappa':
113
      kappa, 'S': S})
114
# Klassifikation
116 threshold = 0.3
regular_indices = [i for i, r in enumerate(results_all) if
      r['lyap'] < threshold]
```

```
chaotic_indices = [i for i, r in enumerate(results_all) if
      r['lyap'] >= threshold]
print(f" Regular: {regular indices}, Chaotisch:
      {chaotic indices}")
120
121 # Alignierung aller
  kappas all = [r['kappa'] for r in results all]
aligned_all = align_curves(kappas_all)
  kappa avg all = np.mean(aligned all, axis=0)
126
  # 2. FOKUSSIERT: nur reguläre ICs
128
  print("\On Fokussierte Analyse: nur reguläre Trajektorien")
129
  initial_conditions_req = [initial_conditions_all[i] for i in
      regular indices]
  results_reg = []
  for i, ic in enumerate(initial conditions reg):
      lyap, sol = lyapunov_exponent(np.array(ic), t)
133
      theta1, theta2 = sol[:, 0], sol[:, 2]
134
      kappa = compute_curvature(theta1, theta2, t)
      results req.append({'kappa': kappa})
136
137
last kappas_reg = [r['kappa'] for r in results_reg]
aligned_reg = align_curves(kappas_reg)
happa_avg_reg = np.mean(aligned_reg, axis=0)
  # Universelle Resonanzen (aus regulärer Analyse)
142
  peaks_reg, _ = find_peaks(kappa_avg_reg,
      height=np.percentile(kappa_avg_reg, 95), distance=200)
144 t_peaks = t[peaks_reg]
145
146 # Schwebungshypothese: Korrelation
| f1, f2 = 2.8, 2.1 
beat_envelope = np.abs(np.cos(np.pi * (f1 - f2) * t)) #
      |\cos\pi(\cdot 0.7 \cdot t)|
  correlation_r = np.corrcoef(kappa_avg_reg, beat_envelope)[0,
      1]
print(f" Korrelation mit Schwebungshüllkurve: r =
      {correlation r:.3f}")
152 # -----
# PLOTS FÜR LATEX
```

```
155
  # Plot A: S vs. Lyapunov (alle ICs)
plt.figure(figsize=(5, 4))
lyaps = [r['lyap'] for r in results_all]
159 S_vals = [r['S'] for r in results_all]
colors = ['green' if i in regular indices else 'red' for i
     in range(len(lyaps))]
  plt.scatter(lyaps, S_vals, c=colors, s=60, edgecolor='k')
  for i, (1, s) in enumerate(zip(lyaps, S vals)):
      plt.text(l, s, f' {i}', fontsize=8)
163
plt.xlabel(r'Lyapunov-Exponent $\lambda$')
plt.ylabel(r'Defekt-Wirkung $S$')
plt.yscale('log')
plt.grid(True, alpha=0.3)
plt.tight_layout()
  plt.savefig('doppelpendel_S_vs_lambda.png',
     bbox_inches='tight')
  plt.close()
171
# Plot B: Mittlere Krümmung (regulär) + Resonanzen
  plt.figure(figsize=(6, 3))
  plt.plot(t, kappa avg reg, 'k-', linewidth=1.2,
     label=r'$\bar{\kappa}(t)$')
plt.plot(t_peaks, kappa_avg_reg[peaks_reg], 'ro',
     markersize=4, label='Resonanzen')
plt.xlabel(r'Zeit $t$ [s]')
plt.ylabel(r'Krümmung $\kappa(t)$')
plt.grid(True, alpha=0.3)
plt.legend(fontsize=9)
plt.tight_layout()
  plt.savefig('doppelpendel_universal_peaks.png',
181
     bbox_inches='tight')
  plt.close()
183
  # Plot C: Schwebungshypothese
184
t_{185} t_fine = np.linspace(0, t_max, len(t) * 5)
env fine = np.abs(np.cos(np.pi * 0.7 * t fine))
plt.figure(figsize=(6, 3))
  plt.plot(t, kappa_avg_reg,
                             'k-', linewidth=1.2,
     label=r'$\bar{\kappa}(t)$')
plt.plot(t_fine, env_fine, 'C1--', alpha=0.8,
     label=r'Hüllkurve $|\cos(\pi \cdot 0.7 \cdot t)|$')
190 for tp in t_peaks:
```

```
plt.axvline(tp, color='gray', linestyle=':',
191
     linewidth=0.8)
plt.xlabel(r'Zeit $t$ [s]')
plt.ylabel('Amplitude')
plt.legend(fontsize=9)
plt.grid(True, alpha=0.3)
plt.tight layout()
  plt.savefig('doppelpendel_beat_hypothesis.png',
     bbox inches='tight')
  plt.close()
198
199
200 # Plot D: Alle alignierten κ(t) (regulär)
  plt.figure(figsize=(6, 3))
  for k in aligned reg:
      plt.plot(t, k, alpha=0.6, linewidth=0.8)
  plt.plot(t, kappa_avg_reg, 'k-', linewidth=1.5,
     label='Mittelwert')
205 plt.xlabel(r'Zeit $t$ [s]')
plt.ylabel(r'$\kappa(t)$')
plt.grid(True, alpha=0.3)
plt.legend(fontsize=9)
209 plt.tight layout()
  plt.savefig('doppelpendel_all_aligned_reg.png',
     bbox inches='tight')
  plt.close()
  print("\On Fertig! Plots als png für LaTeX gespeichert.")
```

Listing A.4: Visualisierung Doppelpendel mit geometrischer Resonanz

# A.5 Kreiswelle mit Modenverstärkung (Animation), (Abschn. 12)

```
# kreiswelle_modenverstaerkung_animation.py
import numpy as np
import matplotlib.pyplot as plt
from matplotlib.animation import FuncAnimation

# Parameter
n = 8
eps_max = 0.5
frames = 50
```

```
_{10} N = 400
theta = np.linspace(0, 2 * np.pi, N, endpoint=False)
 epsilons = np.linspace(0, eps max, frames)
13
 def curvature(r, th):
14
      dr = np.gradient(r, th)
      d2r = np.gradient(dr, th)
      num = np.abs(r**2 + 2*dr**2 - r*d2r)
      den = (r**2 + dr**2)**1.5
18
      return np.divide(num, den, out=np.zeros like(num),
19
     where=den > 1e-10)
# Figur erstellen – bewusst etwas höher für Text
22 fig = plt.figure(figsize=(11, 6)) # Höhe leicht erhöht für
     besseren Abstand
2.3
24 # Titel (14 pt)
25 fig.suptitle('Nichtlineare Modenverstärkung', fontsize=14,
     fontweight='bold', y=0.96)
26
27 # Untertitel (12 pt) - unten, aber nicht zu tief
fig.text(0.5, 0.03, 'Visualisierung: Klaus H. Dieckmann,
     2025'.
           ha='center', fontsize=12, style='italic')
29
30
 # Dynamischer Erklärtext (oberhalb des Urheberhinweises)
  explanation_text = fig.text(0.5, 0.08, '', ha='center',
     fontsize=12, fontweight='bold', color='darkblue')
 # Zwei Subplots - explizit positioniert mit subplots_adjust
axs = fig.subplots(1, 2)
36
37 # Erster Plot
38 line1, = axs[0].plot([], [], 'b-', linewidth=1.8)
axs[0].set_aspect('equal')
40 axs[0].set_xlim(-1.8, 1.8)
41 axs[0].set_ylim(-1.8, 1.8)
axs[0].set_title('Wellenfront')
axs[0].grid(True, alpha=0.3)
44 axs[0].set xticks([])
45 axs[0].set_yticks([])
46
47 # Zweiter Plot
48 line2, = axs[1].plot([], [], 'g-', linewidth=1.8)
```

```
49 axs[1].set_xlim(0, 2 * np.pi)
so axs[1].set vlim(0, 2.5)
axs[1].set title('Krümmung \kappa\theta()')
s2 axs[1].set_xlabel('θ [rad]')
axs[1].grid(True, alpha=0.3)
 # WICHTIG: Explizite Platzierung der Plots - lässt Platz
     unten für Text!
  plt.subplots_adjust(left=0.06, right=0.94, top=0.85,
     bottom=0.18, wspace=0.25)
  # Phasenbasierte Erklärtexte
58
  def get_explanation_text(i, total_frames):
59
      phase = i / total frames
      if phase < 0.2:
          return "Initiale Kreisform: ungestörte Welle mit
62
     konstanter Krümmung."
      elif phase < 0.4:
          return "Leichte Modulation: sinusförmige Verformung
64
     beginnt."
      elif phase < 0.6:</pre>
          return "Nichtlineare Verstärkung: Krümmung an
     Spitzen nimmt stark zu."
      elif phase < 0.8:</pre>
          return "Maximale Deformation: scharfe
68
     Krümmungsmaxima bei n-facher Symmetrie."
      else:
69
          return "Rückkehr zur Symmetrie: Modulation klingt
70
     ab, Krümmung glättet sich."
  def animate(i):
      eps = epsilons[i]
73
      r = 1.0 + eps * np.sin(n * theta)
74
      x = r * np.cos(theta)
      y = r * np.sin(theta)
76
      kappa = curvature(r, theta)
78
      line1.set_data(x, y)
79
      line2.set_data(theta, kappa)
80
      explanation_text.set_text(get_explanation_text(i,
81
     frames))
82
      return line1, line2, explanation_text
83
84
```

```
# Animation - blit=False, da wir Text außerhalb der Achsen aktualisieren
anim = FuncAnimation(fig, animate, frames=frames, interval=150, blit=False)

# GIF speichern - OHNE bbox_inches, um Text nicht abzuschneiden
anim.save('nichtlineare_modenverstaerkung_animation.gif', writer='pillow', fps=5, dpi=100)

plt.show()
```

Listing A.5: Visualisierung Kreiswelle mit Modenverstärkung (Animation)

# A.6 Windverformung einer Kreiswelle (Animation), (Abschn. 10)

```
# windverformung_kreiswelle_animation.py
2 import numpy as np
import matplotlib.pyplot as plt
4 from matplotlib.animation import FuncAnimation
s from matplotlib.collections import LineCollection
6
  # Parameter
_{10} n = 8
_{11} | A_{max} = 0.6
omega = np.sqrt(1 / A_max) # Damit A_max * omega^2 = 1 \rightarrow
     Resonanz
_{13} frames = 60
_{14} N = 500
theta = np.linspace(0, 2 * np.pi, N, endpoint=False)
16 As = np.linspace(0, A_max, frames)
17
18 # -----
19 # Hilfsfunktionen
2.0
 def curvature(r, th):
21
    dr = np.gradient(r, th)
      d2r = np.gradient(dr, th)
23
```

```
num = r**2 + 2*dr**2 - r*d2r
24
      den = (r**2 + dr**2)**1.5
25
      kappa = np.divide(num, den, out=np.ones like(num),
     where=den > 1e-10)
      return kappa
2.7
  def curvature defect(kappa, ds):
29
      return (1 - kappa) * ds
30
 # ------
33 # Setup Plot
34
fig, ax = plt.subplots(1, 1, figsize=(8, 8))
 fig.suptitle('Geometrische Resonanz: Windverformung einer
     Kreiswelle', fontsize=14, fontweight='bold')
 fig.text(0.5, 0.06, 'Visualisierung: Klaus H. Dieckmann,
     2025', ha='center', fontsize=11, style='italic')
info_text = fig.text(0.5, 0.9, '', ha='center', fontsize=12,
     color='darkred')
39
 ax.set_aspect('equal')
40
|ax.set_x| = (-2.0, 2.0)
 ax.set_ylim(-2.0, 2.0)
 ax.axis('off')
43
44
45 # Windpfeile
 wind_arrow1 = ax.annotate('', xy=(1.6, 0.3), xytext=(0.8,
     0.3),
                            arrowprops=dict(arrowstyle='->',
47
     color='gray', lw=1.5, ls='--'))
 wind_arrow2 = ax.annotate('', xy=(1.6, -0.3), xytext=(0.8,
     -0.3),
                            arrowprops=dict(arrowstyle='->',
49
     color='gray', lw=1.5, ls='--'))
so wind_arrow1.set_visible(False)
 wind_arrow2.set_visible(False)
53 # Globale Referenz für die Linie (wird in animate
     aktualisiert)
 current lc = None
56
 # Animation
```

```
def animate(i):
      global current lc
60
      A = As[i]
      r = 1.0 + A * np.sin(n * theta)
63
      x = r * np.cos(theta)
      y = r * np.sin(theta)
      # Krümmung & Defekt
67
      kappa = curvature(r, theta)
68
      dx = np.gradient(x, theta)
      dy = np.gradient(y, theta)
70
      ds = np.sqrt(dx**2 + dy**2)
71
      dDelta = curvature defect(kappa, ds)
      # Farben
      norm = plt.Normalize(vmin=-0.8, vmax=0.8)
      colors = plt.cm.coolwarm(norm(dDelta))
76
      # Neue LineCollection
78
      points = np.array([x, y]).T.reshape(-1, 1, 2)
79
      segments = np.concatenate([points[:-1], points[1:]],
80
      axis=1)
      new_lc = LineCollection(segments, colors=colors,
81
      linewidths=2.5)
82
      # Alte Linie entfernen (wenn vorhanden)
83
      if current_lc is not None:
84
          current lc.remove()
85
      # Neue Linie hinzufügen
87
      ax.add_collection(new_lc)
88
      current lc = new lc
89
90
      # Windpfeile sichtbar ab Frame 10
91
      wind_arrow1.set_visible(i >= 10)
92
      wind arrow2.set visible(i >= 10)
93
94
      # Info-Text
95
      A omega2 = A * omega**2
96
      if i < 5:
97
          txt = "Unverformte Kreiswelle: κ = 1 überall."
98
      elif i < 15:
99
```

```
txt = f"Wind setzt ein \rightarrow Verformung beginnt. \omega A \cdot ^2 =
100
      {A omega2:.2f}"
       else:
           resonance = "Resonanz!" if abs(A_omega2 - 1.0) <
      0.05 else ""
           txt = f"Sinusförmige Verformung (n={n}). \omega A^{2} =
      {A omega2:.2f} {resonance}"
       info_text.set_text(txt)
104
105
       return new lc, wind arrow1, wind arrow2, info text
106
108
  # Start & Speichern
109
  anim = FuncAnimation(fig, animate, frames=frames,
      interval=120, blit=False)
# Wichtig: Kein tight layout nach FuncAnimation - kann zu
      Leaks führen
plt.subplots_adjust(left=0.05, right=0.95, top=0.88,
      bottom=0.08)
115
  anim.save('windverformung_kreiswelle_animation.gif',
116
      writer='pillow', fps=5, dpi=110)
117
118 plt.show()
```

Listing A.6: Visualisierung Windverformung einer Kreiswelle (Animation)

### A.7 Roboter-Trajektorie (Animation), (Abschn. 8)

```
switch_frame = 35 # Umschaltung in der Mitte
13
x = \text{np.linspace}(0, x \text{ max}, N)
dx = x[1] - x[0]
16
# Sinus-Trajektorie
y \sin = np.sin(x)
dy_sin = np.gradient(y_sin, dx)
20 d2y_sin = np.gradient(dy_sin, dx)
|| kappa_sin = np.abs(d2y_sin) / (1 + dy_sin**2)**1.5|
22
# Defekt-minimierte Näherung (glattere Krümmung)
y_{opt} = 0.95 * np.sin(x * 0.88)
dy_opt = np.gradient(y_opt, dx)
d2y_opt = np.gradient(dy_opt, dx)
|x_{27}| = |x_{27}| + |x_{27}| 
28
29 #
30 # Setup Plot (2 Reihen)
31
    fig, axs = plt.subplots(2, 1, figsize=(9, 6),
32
             gridspec_kw={'height_ratios': [3, 2]})
fig.suptitle('Geometrische Resonanz\nRobotertrajektorie:
             Sinus vs. defekt-minimiert', fontsize=14,
             fontweight='bold')
34 fig.text(0.5, 0.015, 'Visualisierung: Klaus H. Dieckmann,
             2025', ha='center', fontsize=11, style='italic')
35
36 # Dynamischer Erklärtext (wird in animate aktualisiert)
    explanation_text = fig.text(0.5, 0.06, '', ha='center',
             fontsize=12, color='darkblue', fontweight='bold')
38
39 # Plot 1: Trajektorie
    axs[0].plot(x, y_sin, 'lightgray', lw=1,
             label='Sinus-Trajektorie')
    axs[0].plot(x, y_opt, 'lightgray', lw=1,
             label='Defekt-minimiert')
42 axs[0].set_xlim(0, x_max)
43 axs[0].set_ylim(-1.6, 1.6)
44 axs[0].set_ylabel('y')
45 axs[0].grid(True, alpha=0.3)
46 axs[0].legend(loc='upper right', fontsize=8)
| robot_point, = axs[0].plot([], [], 'ro', markersize=7)
48
```

```
49 # Plot 2: Krümmung
|axs[1].plot(x, kappa sin, 'b--', lw=1.2,
     label=r'$\kappa {\sin}(x)$')
si axs[1].plot(x, kappa_opt, 'q--', lw=1.2,
     label=r'$\kappa_{\text{opt}}(x)$')
axs[1].set xlim(0, x max)
axs[1].set_ylim(0, np.max(kappa_sin) * 1.1)
sa axs[1].set_xlabel('x')
axs[1].set ylabel(r'$\kappa$')
s6 axs[1].grid(True, alpha=0.3)
axs[1].legend(loc='upper right', fontsize=8)
kappa_point, = axs[1].plot([], [], 'ro', markersize=5)
59
 # Abstand sichern - Platz für Erklärtext & Urheberhinweis
60
 plt.subplots_adjust(left=0.08, right=0.95, top=0.88,
     bottom=0.17, hspace=0.35)
62
 # Globale Referenz für aktive (farbige) Trajektorienlinie
63
  active_traj_line = None
64
65
66
  # Phasenbasierte Erklärtexte
67
68
  def get_explanation(i, switch=switch_frame):
69
      if i < 5:
70
          return "Start: Roboter folgt klassischer
     Sinus-Trajektorie."
      elif i < switch - 5:</pre>
72
          return "Problem: Krümmung zu gering bei Nullstellen
73
     → ineffiziente Lenkbewegung."
      elif i < switch + 5:</pre>
74
          return "→ Umschaltung auf defekt-minimierte Bahn
75
     (konstante Krümmung)."
      elif i < frames - 10:</pre>
          return "Optimierte Bahn: Krümmung nahezu konstant →
77
     maximale Befahrbarkeit."
      else:
78
          return "Vergleich abgeschlossen: Defekt-minimierte
79
     Trajektorie reduziert geometrischen Verschleiß."
80
81
 # Animation
82
84 def animate(i):
```

```
global active_traj_line
85
86
      idx = min(i * (N // frames), N - 1)
87
      use_opt = i >= switch_frame
88
89
      x now = x[idx]
90
      y_now = y_opt[idx] if use_opt else y_sin[idx]
91
      kappa_now = kappa_opt[idx] if use_opt else kappa_sin[idx]
92
93
      # Roboterposition
94
      robot_point.set_data([x_now], [y_now])
95
      kappa_point.set_data([x_now], [kappa_now])
96
97
      # Alte aktive Linie entfernen
98
      if active_traj_line is not None:
99
           active_traj_line.remove()
100
           active_traj_line = None
      # Neue aktive Linie zeichnen
      y_traj = y_opt if use_opt else y_sin
104
      color = 'green' if use_opt else 'blue'
      active traj line = axs[0].plot(x[:idx+1],
106
      y_traj[:idx+1], color=color, lw=2.2)[0]
      # Dynamischen Text aktualisieren
108
      explanation text.set text(get explanation(i))
110
      return robot_point, kappa_point, active_traj_line,
      explanation text
113 # -----
  # Speichern
114
  anim = FuncAnimation(fig, animate, frames=frames,
      interval=140, blit=False)
  anim.save('roboter_trajektorie_animation.gif',
      writer='pillow', fps=5, dpi=110)
118
plt.show()
```

Listing A.7: Visualisierung

## A.8 Projektion Kreis: Sinus mit Krümmungsvergleich (Animation), (Abschn. 4)

```
# projektion kreis sinus.py
 2 import numpy as np
 import matplotlib.pyplot as plt
 4 from matplotlib.animation import FuncAnimation
    # ------
 6
 7 # Parameter
    |# -----
 9 \times \max = 4 * np.pi
10 N total = 600
_{11} frames = 100
12
theta_full = np.linspace(0, x_max, N_total)
14 x full = theta full
y_sin_full = np.sin(x_full)
16
|x| dx = x_{full}[1] - x_{full}[0]
dy = np.gradient(y_sin_full, dx)
d2y = np.gradient(dy, dx)
|x_{20}| = |x_{20}| + |x_{20}| + |x_{20}| = |x_{20}| + |x_{20}| 
21
22 # Resonanzstellen: wo κ ≈ 1 (nahe Maxima)
resonance_mask = np.isclose(kappa_sin, 1.0, atol=0.03)
24 x_res = x_full[resonance_mask]
kappa res = kappa sin[resonance mask]
26
27 # -----
28 # Figur & Layout
fig = plt.figure(figsize=(10, 6.2))
fig.suptitle('Geometrische Resonanz\nProjektion Kreis: Sinus
              mit Krümmungsvergleich', fontsize=14, fontweight='bold')
32 fig.text(0.18, 0.26, 'Visualisierung: Klaus H. Dieckmann,
              2025', ha='center', fontsize=11, style='italic')
33
34 # Dynamischer Erklärtext (wird in animate aktualisiert)
explanation_text = fig.text(0.5, 0.03, '', ha='center',
              fontsize=12, color='darkblue', fontweight='bold')
36
37 # Plots manuell positionieren (mehr Kontrolle)
```

```
ax circle = plt.axes([0.05, 0.34, 0.25, 0.52])
                                                   # Kreis
     links
            = plt.axes([0.38, 0.34, 0.57, 0.52])
 ax sin
                                                   # Sinus
     rechts
ax_{a} = plt.axes([0.38, 0.12, 0.57, 0.20])
                                                   # Krümmung
     unten
41
42 # --- Kreis ---
ax circle.set aspect('equal')
44 ax circle.set xlim(-1.3, 1.3)
45 ax_circle.set_ylim(-1.3, 1.3)
46 ax_circle.set_title('Einheitskreis')
ax_circle.grid(True, alpha=0.3)
ax circle.set xticks([-1, 0, 1])
49 ax_circle.set_yticks([-1, 0, 1])
so circle theta = np.linspace(0, 2*np.pi, 200)
s1 ax_circle.plot(np.cos(circle_theta), np.sin(circle_theta),
     'k-', 1w=0.8)
point_circle, = ax_circle.plot([], [], 'ro', markersize=8)
proj_line, = ax_circle.plot([], [], 'r--', lw=1)
54
55 # --- Sinus ---
set_xlim(0, x_max)
57 ax_sin.set_ylim(-1.4, 1.4)
sel ax_sin.set_title('Sinusfunktion $y = \\sin x$')
so ax sin.grid(True, alpha=0.3)
60 ax_sin.set_ylabel('y')
 sin_point, = ax_sin.plot([], [], 'ro', markersize=8)
61
62
63 # --- Krümmung ---
64 ax_kappa.set_xlim(0, x_max)
ax kappa.set_ylim(0, np.max(kappa_sin)*1.1)
66 ax kappa.set xlabel('x')
 ax_kappa.set_ylabel(r'$\kappa(x)$')
 ax_kappa.grid(True, alpha=0.3)
kappa_point, = ax_kappa.plot([], [], 'ro', markersize=5)
70 resonance_scatter = ax_kappa.scatter([], [], c='red', s=20,
     zorder=5, label=r'$\kappa = 1$')
 ax_kappa.legend(loc='upper right', fontsize=8)
72
# Globale Linien (für stabile Animation)
74 current sin line = None
 current_kappa_line = None
75
76
```

```
# Dynamischer Erklärtext je Phase
78
79
  def get_explanation(i, total_frames):
80
       phase = i / total_frames
81
       if phase < 0.1:
82
           return "Start: Punkt bewegt sich gleichförmig auf
83
      dem Einheitskreis \kappa( = 1)."
       elif phase < 0.3:</pre>
84
           return "Horizontale Projektion erzeugt die
85
      Sinusfunktion y = \sin(x)."
       elif phase < 0.6:</pre>
86
           return "Die Sinuskurve hat nicht konstante Krümmung,
87
      im Gegensatz zum Kreis."
       elif phase < 0.85:</pre>
88
           return "Nur an den Maxima (x = \pi/2, \pi5/2, ...) gilt \kappa
89
      = 1 → lokale Kreisähnlichkeit."
90
           return "Resonanzpunkte markiert: dort ist die
91
      geometrische Struktur identisch zum Kreis."
92
93
  # Animation
95
  def animate(i):
96
       global current_sin_line, current_kappa_line
97
98
       idx = min(i * (N_total // frames), N_total - 1)
99
       if idx < 0:
100
           idx = 0
       theta = theta_full[idx]
103
       x now = x full[idx]
104
       y_now = y_sin_full[idx]
       k_now = kappa_sin[idx]
106
       # Kreis
108
       point_circle.set_data([np.cos(theta)], [np.sin(theta)])
       proj_line.set_data([np.cos(theta), np.cos(theta)],
110
      [np.sin(theta), y_now])
       # Sinus-Linie
       if current_sin_line is not None:
113
           current sin line.remove()
114
```

```
current_sin_line = ax_sin.plot(x_full[:idx+1],
115
      v sin full[:idx+1], 'b-', lw=2)[0]
       sin point.set data([x now], [y now])
      # Krümmung
118
      if current kappa line is not None:
119
           current kappa line.remove()
      current_kappa_line = ax_kappa.plot(x_full[:idx+1],
121
      kappa_sin[:idx+1], 'g-', lw=2)[0]
      kappa_point.set_data([x_now], [k_now])
      # Resonanzpunkte einblenden
124
      visible_res_x = x_res[x_res <= x_now]</pre>
      visible res k = kappa res[x res <= x now]</pre>
      resonance_scatter.set_offsets(np.column_stack([visible_res_x,
      visible_res_k]))
128
      # Dynamischen Text aktualisieren
129
      explanation_text.set_text(get_explanation(i, frames))
130
      return (point_circle, proj_line, sin_point, kappa_point,
      resonance_scatter,
               current_sin_line, current_kappa_line,
      explanation_text)
135
  # Speichern
136
  anim = FuncAnimation(fig, animate, frames=frames,
      interval=100, blit=False)
  anim.save('projektion_kreis_sinus_animation.gif',
139
      writer='pillow', fps=5, dpi=110)
140
141 plt.show()
```

Listing A.8: Visualisierung Projektion Kreis: Sinus mit Krümmungsvergleich (Animation)

### A.9 Doppelpendel (Animation), (Abschn. 9)

```
# doppelpendel_chaos_geometrie.py
import numpy as np
```

```
import matplotlib.pyplot as plt
4 from matplotlib.animation import FuncAnimation
from scipy.integrate import solve ivp
from scipy.signal import find_peaks
7
  # Doppelpendel-Gleichungen
10
  def double_pendulum(t, y, L1=1.0, L2=1.0, m1=1.0, m2=1.0,
11
     q=9.81):
      theta1, z1, theta2, z2 = y
12
      c, s = np.cos(theta1 - theta2), np.sin(theta1 - theta2)
13
      denom = m1 + m2 * s**2
14
      dtheta1 = z1
      dtheta2 = z2
      dz1 = (m2 * q * np.sin(theta2) * c - m2 * s * (L1 *
17
     z1**2 * c + L2 * z2**2) -
              (m1 + m2) * g * np.sin(theta1)) / (L1 * denom)
18
      dz2 = ((m1 + m2) * (L1 * z1**2 * s - q * np.sin(theta2))
19
     + q * np.sin(theta1) * c) +
             m2 * L2 * z2**2 * s * c) / (L2 * denom)
      return [dtheta1, dz1, dtheta2, dz2]
  # Simulation: speichere \theta1, \theta2, f, \kappa
24
_{26} t max = 18
  dt = 0.02
28 t_eval = np.arange(0, t_max, dt)
_{29} n runs = 3
 |y0_base = [np.pi / 2, 0, np.pi / 2, 0]
30
31
  all data = [] # Liste von dicts
  for i in range(n_runs):
34
      y0 = y0_base + np.random.normal(0, 1e-4, 4)
35
      sol = solve_ivp(double_pendulum, [0, t_max], y0,
36
     t_eval=t_eval, rtol=1e-8, atol=1e-8)
      theta1, theta2 = sol.y[0], sol.y[2]
37
      f = np.sin(theta1) + np.sin(theta2)
38
      # Krümmung von (t, f(t))
39
      df = np.gradient(f, dt)
40
      d2f = np.gradient(df, dt)
41
      kappa = np.abs(d2f) / (1 + df**2)**1.5
42
```

```
all_data.append({
43
          't': t eval,
44
          'theta1': theta1,
45
          'theta2': theta2,
46
          'f': f,
47
          'kappa': kappa
      })
49
50
 # Mittelung
kappas = np.array([d['kappa'] for d in all_data])
kappa_mean = np.mean(kappas, axis=0)
54 window = 61
 kappa_smooth = np.convolve(kappa_mean,
     np.ones(window)/window, mode='same')
  peaks, _ = find_peaks(kappa_smooth,
     height=np.percentile(kappa_smooth, 92), distance=120)
57
58
59 # Plot Setup
60 # ----
 |frames = 100
61
fig = plt.figure(figsize=(10, 7))
63 fig.suptitle('Doppelpendel: Chaos vs. geometrische Ordnung',
     fontsize=14, fontweight='bold')
 fig.text(0.2, 0.3, 'Visualisierung:\nKlaus H. Dieckmann,
     2025', ha='center', fontsize=10, style='italic')
  explanation_text = fig.text(0.65, 0.06, '', ha='center',
     fontsize=11, fontweight='bold', color='darkblue')
66
 ax_pend = plt.axes([0.05, 0.55, 0.25, 0.35])
68 ax_pend.set_xlim(-2.5, 2.5)
69 ax_pend.set_ylim(-2.5, 2.5)
70 ax pend.set aspect('equal')
 ax_pend.axis('off')
  ax_pend.set_title('Doppelpendel', fontsize=10)
72
73
|ax_f| = plt.axes([0.38, 0.55, 0.57, 0.35])
75 ax_f.set_xlim(0, t_max)
76 ax_f.set_ylim(-2.1, 2.1)
77 ax f.set ylabel('f(t)')
78 ax_f.grid(True, alpha=0.3)
 ax_f.set_title(r'f(t) = sin\theta_1 + sin\theta_2',
79
     fontsize=10)
80 line_f, = ax_f.plot([], [], 'b-', lw=1.2)
```

```
81
  ax_k = plt.axes([0.38, 0.17, 0.57, 0.30])
83 ax k.set xlim(0, t max)
84 ax_k.set_ylim(0, np.max(kappa_smooth)*1.15)
as ax_k.set_xlabel('t')
86 ax k.set vlabel(r'$\kappa(t)$')
87 ax k.grid(True, alpha=0.3)
  ax_k.set_title('Geglättete Krümmung → universelle
      Resonanzen', fontsize=10)
89 line_k_raw, = ax_k.plot([], [], 'lightgray', lw=0.7)
90 line_k_smooth, = ax_k.plot([], [], 'g-', lw=2)
peak_scatter = ax_k.scatter([], [], c='red', s=30, zorder=5,
      label='Resonanzpeaks')
  ax k.legend(fontsize=8)
93
94
  # Pendel zeichnen
95
96
  def draw_pendulum(ax, theta1, theta2, L1=1.0, L2=1.0):
97
       ax.clear()
98
       ax.set_xlim(-2.5, 2.5)
99
       ax.set_ylim(-2.5, 2.5)
100
       ax.set_aspect('equal')
       ax.axis('off')
       x0, y0 = 0, 0
       x1 = L1 * np.sin(theta1)
104
       y1 = -L1 * np.cos(theta1)
105
       x2 = x1 + L2 * np.sin(theta2)
106
       y2 = y1 - L2 * np.cos(theta2)
107
       ax.plot([x0, x1], [y0, y1], 'o-', color='C0', [x0, x1])
      markersize=8)
       ax.plot([x1, x2], [y1, y2], 'o-', color='C1', lw=2.5,
109
      markersize=8)
111
  # Animation
112
113
  def animate(i):
114
       idx = min(i * (len(t_eval) // frames), len(t_eval) - 1)
115
       if idx < 20:
           idx = 20
118
       # Daten des ersten Laufs für Pendel
119
       theta1 = all data[0]['theta1'][idx]
```

```
theta2 = all_data[0]['theta2'][idx]
       draw pendulum(ax pend, theta1, theta2)
122
123
       # f(t)
124
       t show = t eval[:idx+1]
       f show = all data[0]['f'][:idx+1]
126
       line_f.set_data(t_show, f_show)
128
       # Krümmung (Rohdaten aller Läufe bis idx)
129
       k_raw_show = np.mean([d['kappa'][:idx+1] for d in
130
      all data], axis=0)
       line_k_raw.set_data(t_show, k_raw_show)
       # Geglättete Krümmung (bis idx)
       k_smooth_show = kappa_smooth[:idx+1]
134
       line k smooth.set data(t show, k smooth show)
135
136
       # Resonanzpeaks bis aktueller Zeitpunkt
       peaks_now = peaks[peaks <= idx]</pre>
138
       if len(peaks now) > 0:
139
140
      peak scatter.set offsets(np.column stack([t eval[peaks now],
      kappa_smooth[peaks_now]]))
       else:
141
           peak_scatter.set_offsets(np.empty((0, 2)))
142
143
       # Frklärtext
144
       explanation_text.set_text(get_explanation(i, frames))
145
146
       return line_f, line_k_raw, line_k_smooth, peak_scatter
147
148
  def get_explanation(i, total_frames):
149
       phase = i / total frames
       if phase < 0.25:
           return "Chaotische Bewegung des Doppelpendels,
      deterministisch, aber unvorhersagbar."
       elif phase < 0.5:</pre>
           return "Die Funktion f(t) = \theta_1 \sin + \theta_2 \sin oszilliert
154
      komplex und aperiodisch."
       elif phase < 0.75:</pre>
           return "Krümmung \kappa(t) zeigt verborgene Struktur.
      Rauschen überlagert Resonanzen."
       else:
157
```

Listing A.9: Visualisierung Doppelpendel (Animation)

#### Hinweis zur Nutzung von KI

Die Ideen und Konzepte dieser Arbeit stammen von mir. Künstliche Intelligenz wurde unterstützend für die Textformulierung und Gleichungsformatierung eingesetzt. Die inhaltliche Verantwortung liegt bei mir. <sup>1</sup>

```
Stand: 1. Oktober 2025
TimeStamp: https://freetsa.org/index_de.php
```

<sup>&</sup>lt;sup>1</sup>ORCID: https://orcid.org/0009-0002-6090-3757

### Literatur

- [1] L. Allen, M. W. Beijersbergen, R. J. C. Spreeuw, and J. P. Woerdman. Orbital angular momentum of light and the transformation of Laguerre-Gaussian laser modes. *Physical Review A*, 45(11):8185–8189, 1992.
- [2] M. P. do Carmo. *Differential Geometry of Curves and Surfaces*. Dover, 2nd edition. 2016.
- [3] L. D. Landau und E. M. Lifshitz. *Fluidmechanik*. Pergamon Press, 2nd editio. 1987.
- [4] S. A. Maier, Plasmonics: Fundamentals and Applications. Springer, 2007.
- [5] D. J. Schwarz, G. D. Starkman, C. J. Copi, and P. M. Vaudrevange. CMB anomalies: Evidence for physics beyond the standard model? *arXiv preprint* arXiv:1510.07929 [astro-ph.CO], 2015.